

دانشگاه صنعتی خواجه نصیرالدین طوسی
دانشگاه صنعتی خواجه نصیرالدین طوسی
دانشکده مهندسی برق

درس سیستم های کنترل خطی
استاد: دکتر حمیدرضا تقی راد
گزارش کار پروژه پایانی

نام و نام خانوادگی	محمد امین محمدیون شبستری
شماره دانشجویی	۴۰۱۲۲۵۰۳
تاریخ	بهمن ۱۴۰۳



فهرست مطالب

۵	سوال اول:	۱
۵	پاسخ سوال اول	۱.۱
۵	۱.۱.۱ Load کردن فایل Data.mat	۱.۱.۱
۵	۲. استخراج اطلاعات:	۲.۱.۱
۶	۳. تبدیل اندازه به dB:	۳.۱.۱
۶	۴. رسم نمودار Bode:	۴.۱.۱
۷	خروجی نمودار Bode:	۵.۱.۱
۷	سوال دوم:	۲
۸	پاسخ سوال دوم	۱.۲
۸	۱. بررسی نوع سیستم:	۱.۱.۲
۹	۲. بررسی مرتبه سیستم:	۲.۱.۲
۹	۳. بررسی تاخیر سیستم:	۳.۱.۲
۹	۴. بررسی کمینه فاز بودن سیستم:	۴.۱.۲
۱۰	سوال سوم:	۳
۱۰	پاسخ سوال سوم	۱.۳
۱۰	۱. سیستم‌های موجود در مدل:	۱.۱.۳
۱۲	۲. بررسی ζ:	۲.۱.۳
۱۲	۳. سیستم PD با صفر غیر کمینه فاز:	۳.۱.۳
۱۴	۴. سیستم کلی تخمین زده شده:	۴.۱.۳
۱۴	۵. بررسی ζ:	۵.۱.۳
۱۵	۶. سیستم تخمین زده شده نهایی:	۶.۱.۳
۱۵	سوال سوم (بخش امتیازی):	۴
۱۵	پاسخ سوال امتیازی	۱.۴
۱۵	۱. SystemIdentification چیست؟	۱.۱.۴
۱۶	۲. برازش مدل با SystemIdentification:	۲.۱.۴
۱۷	۳. نتیجه کد پس از اجرا شدن:	۳.۱.۴
۱۸	۴. تابع دقیق:	۴.۱.۴
۱۸	سوال چهارم:	۵
۱۸	پاسخ سوال چهارم	۱.۵



۱۹	سوال پنجم:	۶
۱۹	پاسخ سوال پنجم - مکان هندسی	۱.۶
۲۰	مکان هندسی ریشه‌ها به ازای بهره مثبت	۱.۱.۶
۲۱	مکان هندسی ریشه‌ها به ازای بهره منفی	۲.۱.۶
۲۲	مکان هندسی ریشه‌ها به ازای $k = -27.9$	۳.۱.۶
۲۲	مکان هندسی ریشه‌ها به ازای $k = -27.95$	۴.۱.۶
۲۳	پاسخ سوال پنجم - PI یا PD؟	۲.۶
۲۳	سیستم بدون کنترلر	۱.۲.۶
۲۴	طراحی کنترلر PI	۲.۲.۶
۲۵	آیا با PD می‌توانیم سیستم را پایدار کنیم؟	۳.۲.۶
۲۶	بررسی PID Tuner	۴.۲.۶
۲۶	نتیجه	۳.۶
۲۷	سوال ششم:	۷
۲۷	پاسخ سوال ششم	۱.۷
۲۷	سیستم خواسته شده	۱.۱.۷
۲۸	افزودن بهره ثابت	۲.۱.۷
۲۹	طراحی کنترلر Lead	۳.۱.۷
۳۰	افزودن بهره ثابت جدید	۴.۱.۷
۳۱	طراحی کنترلر Lag	۵.۱.۷
۳۱	کنترلر نهایی Lead-Lag	۶.۱.۷
۳۱	نتایج نهایی	۷.۱.۷
۳۲	سوال هفتم	۸
۳۲	پاسخ سوال هفتم - بخش اول:	۱.۸
۳۲	اضافه کردن بهره ثابت	۱.۱.۸
۳۳	طراحی کنترلر Lag	۲.۱.۸
۳۴	اضافه کردن دوتا Lag یکسان به سیستم	۳.۱.۸
۳۴	طراحی Lag جدید برای کاهش خطا	۴.۱.۸
۳۶	پاسخ سوال هفتم - قسمت دوم:	۲.۸
۳۶	پیدا کردن تابع حساسیت	۱.۲.۸
۳۶	طراحی کنترلر:	۳.۸
۳۷	بررسی مکان هندسی سیستم	۱.۳.۸
۳۷	بررسی بهره مناسب	۲.۳.۸
۳۸	اصلاح فرکانس گذر بهره	۳.۳.۸
۳۹	نتایج نهایی	۴.۳.۸
۳۹	رفتار سیگنال کنترلی	۵.۳.۸



۶.۳.۸ تحلیل رفتار کنترلی ۳۹



فهرست تصاویر

۷ diagram Bode	۱
۸ شیب نمودار در فرکانس های کم	۲
۱۰ بررسی شیب و فاز در دهه های مختلف	۳
۱۱ نمودار بودی مربوط به یک سیستم درجه دو، برگرفته از اسلاید ۲۱ جزوه چهارم کنترل خطی دکتر تقی راد	۴
۱۲ فرکانس نقطه پیک سیستم مرتبه دو	۵
۱۳ نمودار بودی یک سیستم PD با صفر غیر کمینه فاز؛ برگرفته از اسلاید ۱۹ جزوه ۴ درس کنترل خطی دکتر تقی راد	۶
۱۳ پایان 90° کاهش فاز	۷
۱۴ نمودار بودی سیستم تخمین زده شده	۸
۱۶ نمودار تابع تبدیل تقریبی بدست آمده	۹
۱۷ سیستم تخمین زده شده با SystemIdentification	۱۰
۲۰ مکان هندسی ریشه ها به ازای بهره مثبت	۱۱
۲۱ مکان هندسی ریشه ها به ازای بهره منفی	۱۲
۲۲ $k = -27.9$	۱۳
۲۲ $k = -27.95$	۱۴
۲۳ رفتار سیستم بدون هیچ کنترلر	۱۵
۲۴ سیستم پایدار به ازای $k = -10$	۱۶
۲۵ اثر کنترلر PI	۱۷
۲۶ اثر کنترلر PD	۱۸
۲۷ PID Tuning with PD	۱۹
۲۷ PID Tuning with PI	۲۰
۲۸ رفتار زمانی و فرکانسی سیستم	۲۱
۲۹ سیستم با بهره $K = 100$	۲۲
۳۰ سیستم با $K = 10$ ، قطب 88-، صفر 0.77-	۲۳
۳۰ سیستم با $K = 1000$ ، قطب 88-، صفر 0.77-	۲۴
۳۱ رفتار سیستم با کنترلر Lead-Lag	۲۵
۳۳ سیستم با بهره ثابت $k = -15$	۲۶
۳۴ رفتار سیستم بعد از اضافه کردن کنترل کننده Lag	۲۷
۳۴ اضافه کردن Lag تکراری به سیستم	۲۸
۳۵ رفتار سیستم با کنترل کننده نهایی	۲۹
۳۷ مکان هندسی با بهره مثبت	۳۰
۳۸ مکان هندسی با بهره منفی	۳۱
۳۸ سیستم با بهره ثابت $k = -0.75$	۳۲
۳۹ رفتار نهایی سیستم با بهره $k = -5.68$	۳۳
۴۰ رفتار سیگنال کنترلی به ازای ورودی شیب	۳۴



۳۵	سیگنال کنترلی به ازای ورودی پله	۴۱
----	---------------------------------	----



فهرست جداول



فهرست برنامه‌ها

۵	lc_p1_load_data.m	۱
۵	lc_p1_data_extraction.m	۲
۶	lc_p1_plot_bode_diagram.m	۳
۱۴	system estimated	۴
۱۶	matlab with systemidentification	۵
۱۹	lc_p5_rlocus.m	۶



۱ سوال اول:

در فایل `Data.mat` مشخصات پاسخ فرکانسی یک سیستم موجود است. این دیتا شامل اندازه $(G(j\omega))$ ، فاز سیستم و فرکانس سیستم ω است. در اولین مرحله، با استفاده از داده‌های موجود، دیاگرام بودی سیستم را رسم کنید.

۱.۱ پاسخ سوال اول

در فایل `Data.mat` مشخصات پاسخ فرکانسی یک سیستم موجود است. این دیتا شامل اندازه $(G(j\omega))$ ، فاز سیستم و فرکانس سیستم ω است. در اولین مرحله، با استفاده از داده‌های موجود، دیاگرام بودی سیستم را رسم می‌کنیم.

۱.۱.۱ Load کردن فایل `Data.mat`:

برای بارگذاری داده‌های موجود در فایل `Data.mat`، از کد زیر استفاده می‌کنیم:

```
1 %Loading Data
2 data = load('Data.mat');
```

Code 1: `lc_p1_load_data.m`

پس از اجرای این کد، اطلاعات فایل `Data.mat` به عنوان متغیر ذخیره می‌شود که شامل سه بخش زیر است:

- `magnitude`
- `phase`
- `omega`

هر یک از این بخش‌ها شامل یک ماتریس با ابعاد 1000×1 هستند.

۲.۱.۱ ۲. استخراج اطلاعات:

پس از بارگذاری داده‌ها، باید اطلاعات مربوط به اندازه، فاز و فرکانس را استخراج کنیم. برای این کار از کد زیر استفاده می‌کنیم:

```
1 phase = data.Data.phase;
2 magnitude = data.Data.magnitude;
3 omega = data.Data.omega;
4 magnitude_db = 20*log(magnitude)/log(10);
```

Code 2: `lc_p1_data_extraction.m`



در این مرحله، اطلاعات مربوط به اندازه (magnitude)، فاز (phase) و فرکانس (omega) از متغیر data استخراج می‌شود و در متغیرهای مجزا ذخیره می‌شوند.

۳.۱.۱ تبدیل اندازه به: dB

برای تبدیل اندازه به dB، از فرمول زیر استفاده می‌کنیم:

$$\text{dB in Gain} = 20 \times \log_{10}(\text{magnitude}) \quad (1)$$

در اینجا، لگاریتم در متلب بر مبنای ۲ است و ما برای تبدیل به مبنای ۱۰، آن را بر $\log(10)$ تقسیم می‌کنیم.

۴.۱.۱ رسم نمودار: Bode

برای رسم نمودار، Bode باید دو نمودار ترسیم کنیم:

- نمودار اندازه در برابر فرکانس
- نمودار فاز در برابر فرکانس

در هر دو نمودار، محور x (فرکانس) باید به صورت لگاریتمی و محور y باید به صورت خطی تغییر کند. برای این کار از دستورهای `semilogx` در متلب استفاده می‌کنیم.

کد متلب مربوط به رسم نمودار Bode به شکل زیر است:

```
1 figure;
2 subplot(2,1,1)
3 semilogx(omega, magnitude_db, 'b', 'LineWidth', 1);
4 grid on;
5 xlabel('Frequency');
6 ylabel('Magnitude');
7 title('Bode Diagram');
8 xlim([min(omega) max(omega)]);
9 legend('Magnitude');
10
11 subplot(2,1,2)
12 semilogx(omega, phase, 'r', 'LineWidth', 1);
13 grid on;
14 xlabel('Frequency');
```



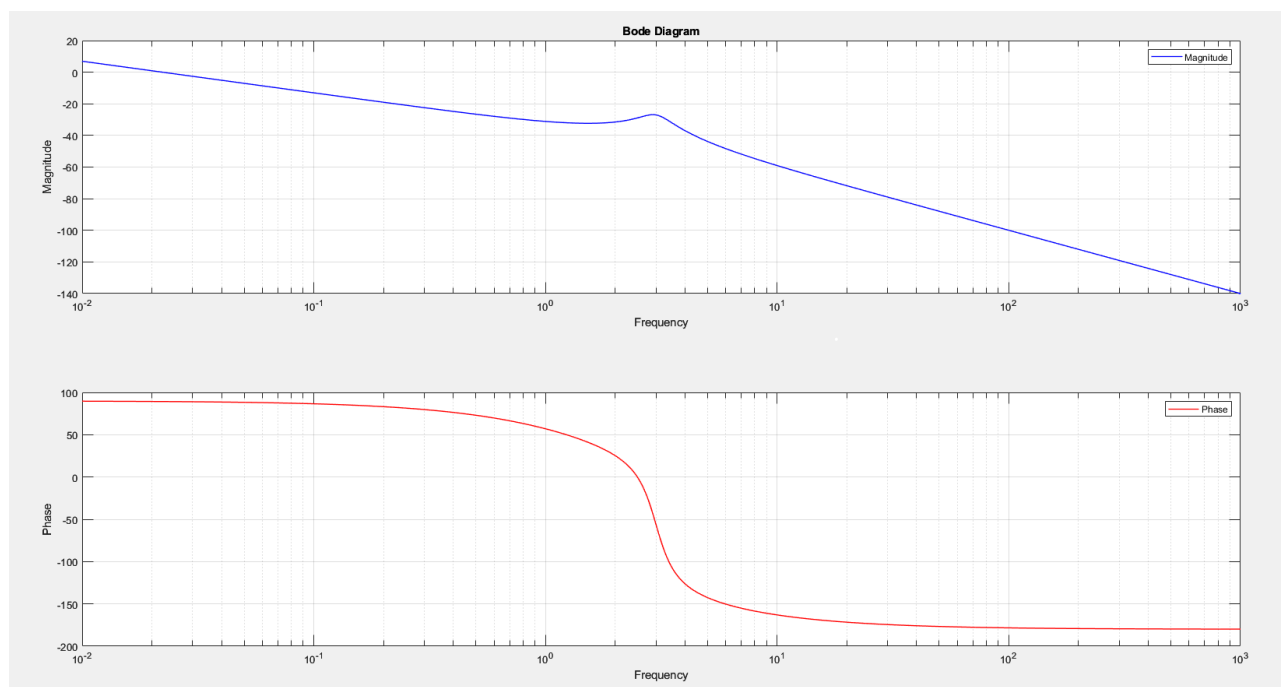
```
15 ylabel('Phase');  
16 xlim([min(omega) max(omega)]);  
17 legend('Phase');
```

Code 3: lc_p1_plot_bode_diagram.m

در این کد از دستور subplot برای ترسیم نمودار اندازه و فاز در یک پنجره استفاده شده است. همچنین برای محدود کردن محور x به بازه داده‌های موجود، از دستور xlim استفاده می‌شود.

۵.۱.۱ خروجی نمودار Bode

خروجی این مراحل که همان نمودار Bode اطلاعات داده شده است به صورت زیر نمایش داده خواهد شد:



شکل ۱: diagram Bode

۲ سوال دوم:

با استفاده از پاسخ فرکانسی:

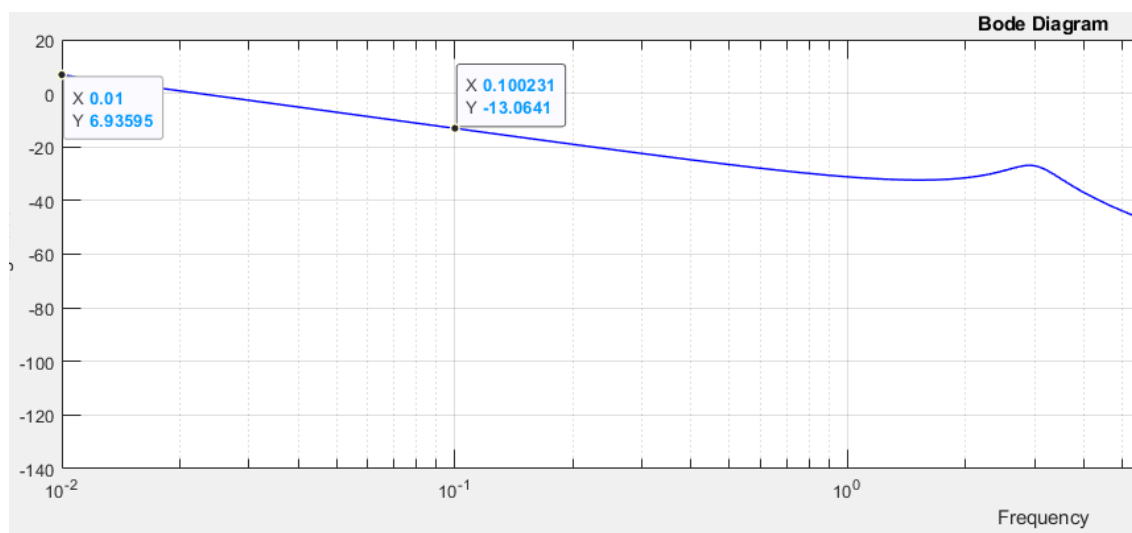
- نوع سیستم



- مرتبه سیستم
 - میزان تاخیر سیستم
 - کمینه فاز بودن سیستم
- را بررسی کنید.

۱.۲ پاسخ سوال دوم

۱.۱.۲. ۱. بررسی نوع سیستم:



شکل ۲: شیب نمودار در فرکانس های کم

همان طور که در تصویر بالا مشخص است، نمودار ما در یک decade از 10^{-2} تا 10^{-1} مقدار اندازه آن حدود ۲۰ dB کاهش یافته. همین موضوع نشان دهنده این است که ما در یک دهه به اندازه -20 dB تغییر اندازه داشته ایم. در نتیجه سیستم ما قطعاً دارای یک انتگرال گیر $\frac{1}{s}$ است.

تابع تبدیلی که دارای یک قطب در مبدا باشد، سیستم را به نوع ۱ تغییر می دهد. سیستم نوع یک دارای ویژگی های زیر است:

- خطای ماندگار برای ورودی پله آن صفر است.
 - خطای ماندگار برای ورودی شیب مقدار ثابت و معینی دارد ($\frac{1}{k_v}$).
 - خطای حالت ماندگار برای ورودی سهمی بی نهایت است.
- در نتیجه سیستم ما نوع ۱ است و ورودی شیب را دنبال می کند.

۲.۱.۲. ۲. بررسی مرتبه سیستم:

با توجه به اینکه در نقطه‌ای از نمودار، Bode نمودار دارای یک پیک است و فاز آن نیز ۱۸۰ درجه کاهش می‌یابد، تابع تبدیل ما نشان‌دهنده‌ی یک سیستم مرتبه دو است.

معادله استاندارد سیستم مرتبه دو به صورت زیر است:

$$\frac{\omega_n^2}{s^2 + 2\zeta\omega_n s + \omega_n^2} \quad (2)$$

مرتبه سیستم برابر است با بالاترین توان s در مخرج تابع تبدیل. با در نظر گرفتن یک سیستم مرتبه دو و یک انتگرال‌گیر، در مخرج s^3 خواهیم داشت.

در نتیجه مرتبه سیستم برابر ۳ است.

۳.۱.۲. ۳. بررسی تاخیر سیستم:

در ابتدا باید توجه داشت که هیچ سیستمی بدون تاخیر نیست. تمامی سیستم‌ها در شروع دارای یک مقدار تاخیر هستند که ممکن است محسوس نباشد. اما تاخیری که ما اینجا به دنبال آن هستیم، تاخیری است که در سیستم و پاسخ زمانی آن مقدار قابل توجهی دارد. ویژگی‌های تاخیر قابل توجه:

- مقدار اندازه فاز را باید تا بی‌نهایت کاهش دهد.

- پاسخ فرکانسی سیستم باید کاهش پیوسته‌ای را نشان دهد.

اما با توجه به پاسخ فرکانسی داده‌شده، چنین ویژگی‌ای مشاهده نمی‌شود. بنابراین، در سیستم ما هیچ تاخیر قابل توجهی از نوع e^{-Ts} وجود ندارد.

۴.۱.۲. ۴. بررسی کمینه فاز بودن سیستم:

همان‌طور که در تصویر بالا مشخص است، قبل از اضافه شدن سیستم مرتبه دو، نمودار اندازه ما با شیب -20 dB در هر دهه کاهش می‌یافت. پس از اضافه شدن سیستم مرتبه دو، این شیب به -40 dB تغییر کرده است، و در یک decade از 10^1 تا 10^2 مقدار اندازه ۴۰ dB کاهش یافته است.

همچنین با بررسی نمودار فاز مشخص می‌شود که:

- در ابتدا فاز 90° بوده است.

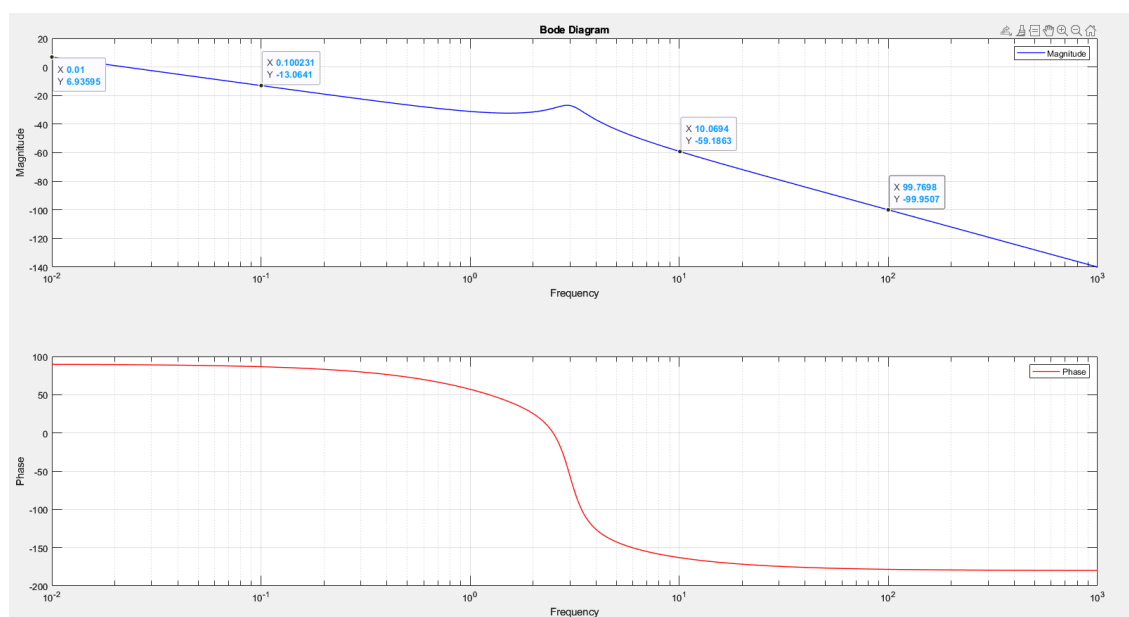
- در نهایت فاز به -180° رسیده است.

یعنی در مجموع 270° کاهش فاز اتفاق افتاده است.

حال، می‌دانیم که:

- سیستم مرتبه دو باید شیب -40 dB به ما بدهد.

- همچنین فاز را 180° درجه کاهش دهد.



شکل ۳: بررسی شیب و فاز در دهه‌های مختلف

اما در اینجا چیزی شیب را به اندازه $20 \text{ dB} +$ خنثی کرده است. از طرفی فاز نیز 90° بیشتر از مقدار مورد انتظار کاهش یافته است. تنها زمانی این اتفاق می‌افتد که سیستم دارای یک صفر در RHP (سمت راست محور) باشد. بنابراین، می‌توان نتیجه گرفت که:

- سیستم دارای یک صفر غیر کمینه فاز در سمت راست محور است.
- سیستم غیر کمینه فاز است.

۳ سوال سوم:

با توجه به پاسخ فرکانسی داده‌شده، به سیستم یک تابع تبدیل مناسب برازش کنید. باید از مدل بدست آمده در این بخش، در ادامه برای کنترل سیستم استفاده نمایید.

۱.۳ پاسخ سوال سوم

۱.۱.۳. ۱. سیستم‌های موجود در مدل:

همانطور که در قسمت‌های قبل بررسی کردیم، سیستم ما یک انتگرال گیر $\frac{1}{s}$ دارد. این بخش از سیستم به صورت زیر است:

$$\frac{1}{s} \quad (3)$$

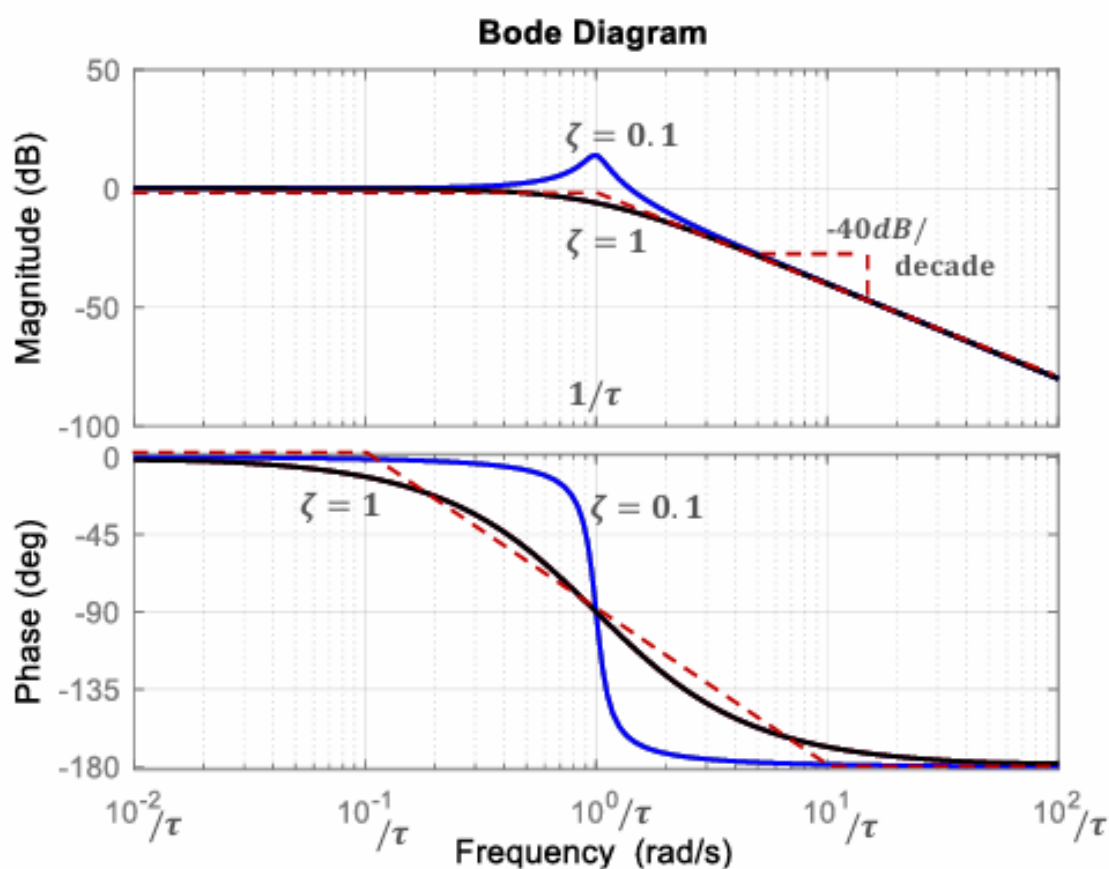
علاوه بر این، سیستم ما یک سیستم مرتبه دو نیز دارد که تابع تبدیل آن به شکل زیر است:

$$\frac{\omega_n^2}{s^2 + 2\zeta\omega_n s + \omega_n^2} \quad (۴)$$

که می توان آن را به فرم زیر نوشت:

$$\frac{1}{(\tau^2 s^2 + 2\tau s + 1)}, \quad \tau = \frac{1}{\omega_n} \quad (۵)$$

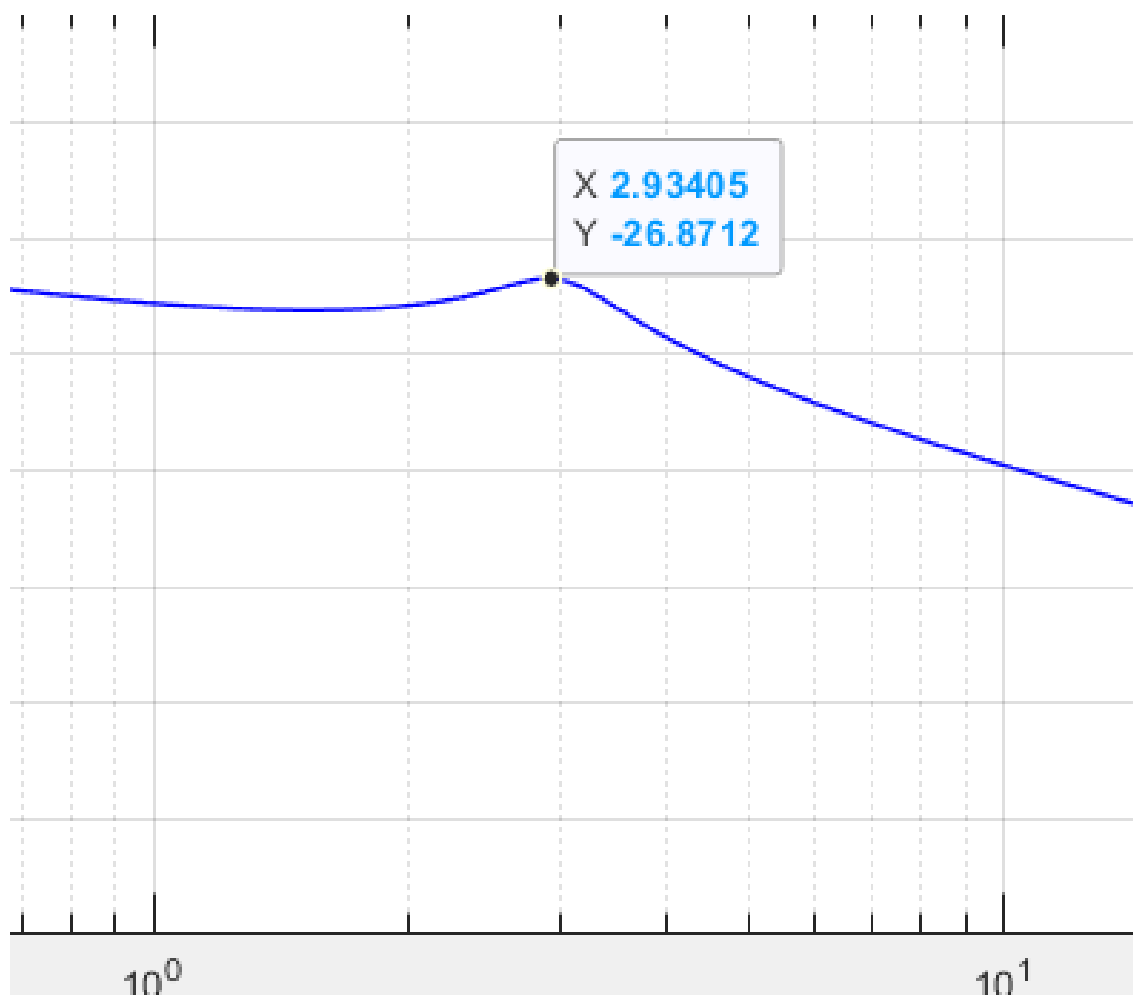
این سیستم شباهت زیادی به نمودار Bode زیر دارد:



شکل ۴: نمودار بودی مربوط به یک سیستم درجه دو، برگرفته از اسلاید ۲۱ جزوه چهارم کنترل خطی دکتر تقی راد

در نقطه مشخص شده فرکانس ما در نقطه پیک حدود ۲.۹ می باشد. پس همانطور که در نمودار Bode حاصل شده مشخص است، ما نیز یک چنین شکلی داریم:
از این رو داریم:

$$\frac{1}{\tau} = 2.9 \Rightarrow \tau = 0.34 \quad (۶)$$



شکل ۵: فرکانس نقطه پیک سیستم مرتبه دو

۲.۱.۳. ۲. بررسی ζ:

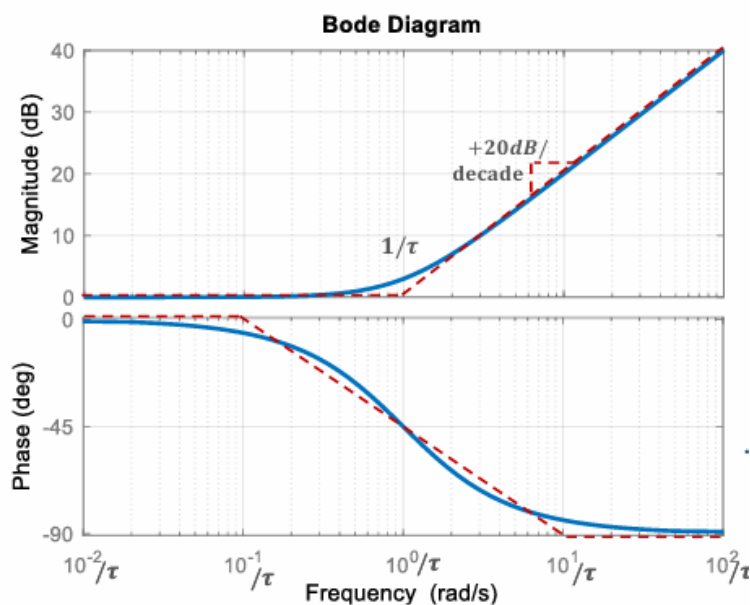
نکته مهم بعدی بررسی ζ است. هر چه ζ کمتر باشد، پیک ما بزرگتر خواهد بود و هر چه به ۱ نزدیک تر شود، نمودار نرم تر و پیک کمتری خواهد داشت.

پس از پیدا کردن صفر غیر کمینه فاز، به بررسی ζ خواهیم پرداخت. تا این مرحله، سیستم مرتبه دو به صورت زیر است:

$$\frac{1}{(0.1156s^2 + 2\zeta 0.34s + 1)} \quad (۷)$$

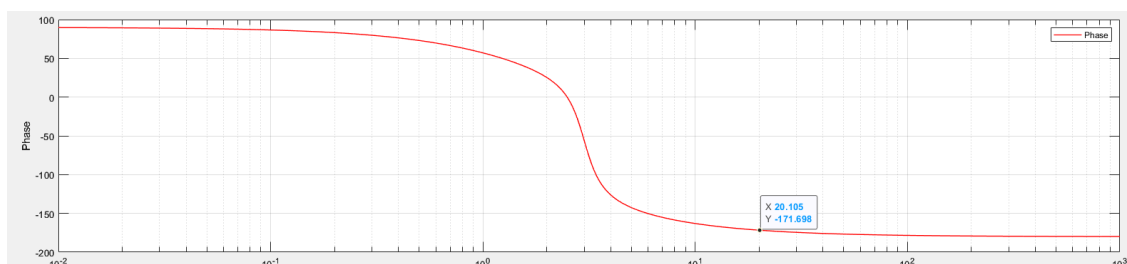
۳.۱.۳. ۳. سیستم PD با صفر غیر کمینه فاز:

همانطور که پیش تر بررسی شد، سیستم ما دارای یک صفر غیر کمینه فاز است. نمودار Bode سیستم با صفر غیر کمینه فاز به شکل زیر خواهد بود:



شکل ۶: نمودار بودی یک سیستم PD با صفر غیر کمینه فاز؛ برگرفته از اسلاید ۱۹ جزوه ۴ درس کنترل خطی دکتر تقی راد

مطابق این نمودار، سیستم ما در $\frac{1}{\tau}$ به اندازه $+20 \text{ dB}$ شیب مثبت خواهد داشت؛ همچنین از $10^{-1/\tau}$ تا $10^{1/\tau}$ به اندازه 90° کاهش فاز خواهیم داشت.



شکل ۷: پایان 90° کاهش فاز

در نقطه‌ای که فرکانس ما ۲۰ است، تقریباً می‌توان گفت که 90° کاهش فاز انجام شده و داریم به 180° می‌رسیم. در نتیجه، با این تقریب داریم:

$$10^{1/\tau} = 20 \Rightarrow \tau = 1/2 = 0.5 \quad (۸)$$

بنابراین، سیستم PD با صفر غیر کمینه فاز به صورت زیر خواهد بود:

$$0.5s - 1 \quad (۹)$$

۴.۱.۳ سیستم کلی تخمین زده شده:

سیستم کلی تخمین زده شده به صورت زیر است:

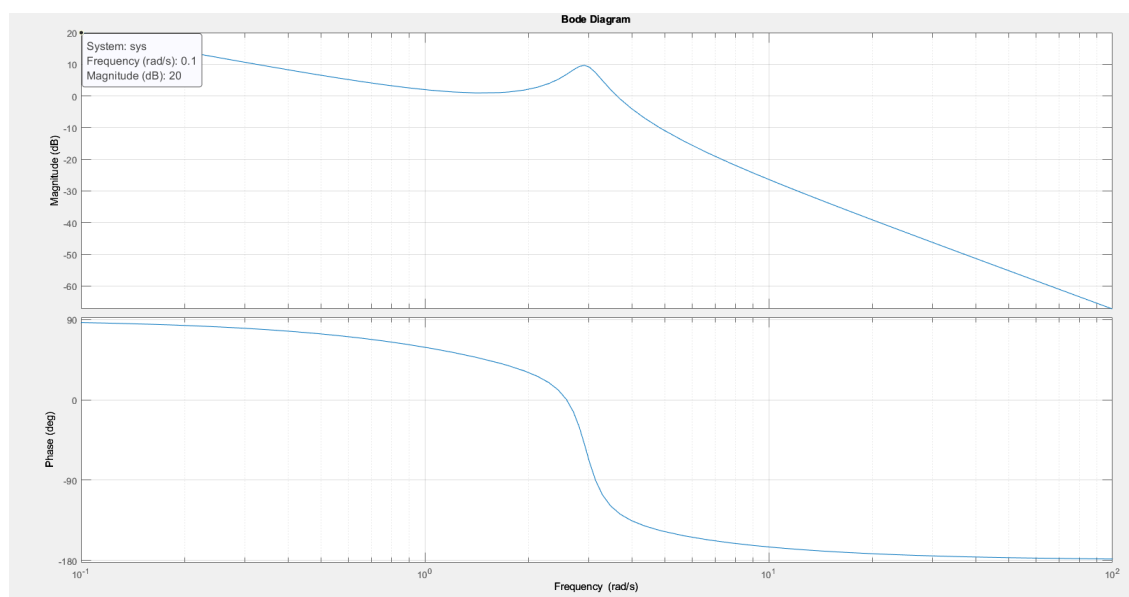
$$\frac{0.5s - 1}{s(0.1156s^2 + 2\zeta 0.34s + 1)} \quad (۱۰)$$

۵.۱.۳ بررسی ζ :

در ابتدا، مقدار $\zeta = 0.1$ را در نظر می گیریم زیرا سیستم ما پیک دارد و نمودار به سمت بالا می رود. مطابق کد زیر سیستم را تعریف کرده و نتیجه آن را بررسی می کنیم:

```
1 s = tf('s');
2 num = (0.5*s-1);
3 zeta = 0.1;
4 den = s*(0.34*0.34 * s^2 + 2*zeta*0.34*s + 1);
5 sys = num / den;
6 bode(sys)
```

Code 4: estimated system



شکل ۸: نمودار بودی سیستم تخمین زده شده



همانطور که در نمودار تخمین زده شده مشخص است، در فرکانس 10^{-1} اندازه نمودار Bode برابر 20 dB است. اما در نمودار اصلی که از داده‌های داده شده بدست آمده، اندازه در این فرکانس حدوداً -13 dB است. بنابراین باید نمودار را به اندازه -33 dB جابجا کنیم. برای این کار از فرمول زیر استفاده می‌کنیم:

$$20 \log(x) / \log(10) = -33 \quad (11)$$

که معادل:

$$x = 10^{-33/20} = 0.022 \quad (12)$$

پس 0.022 همان k یا به عبارتی gain است که اگر در سیستم تخمین زده شده ضرب شود، می‌تواند اندازه سیستم را به اندازه -33 dB جابجا کند.

پس از این تغییر، سیستم جا به جا شده و در فرکانس 2.9 که باید بیشینه باشد، نمودار تقریبی اندازه -23.7 dB را نشان می‌دهد. در حالی که در نمودار اصلی این مقدار -26.8 dB است. در نتیجه باید مقدار ζ را به سمت 1 نزدیک‌تر کنیم تا سطح نمودار در پیک کمی پایین‌تر بیاید. با آزمون و خطا، $\zeta = 0.145$ نتیجه خوبی می‌دهد و تقریباً سیستم به درستی برآورد می‌شود.

۶.۱.۳. سیستم تخمین زده شده نهایی:

سیستم تخمین زده شده نهایی به صورت زیر است:

$$0.022 \times \frac{0.5s - 1}{s(0.1156s^2 + 0.098s + 1)} \quad (13)$$

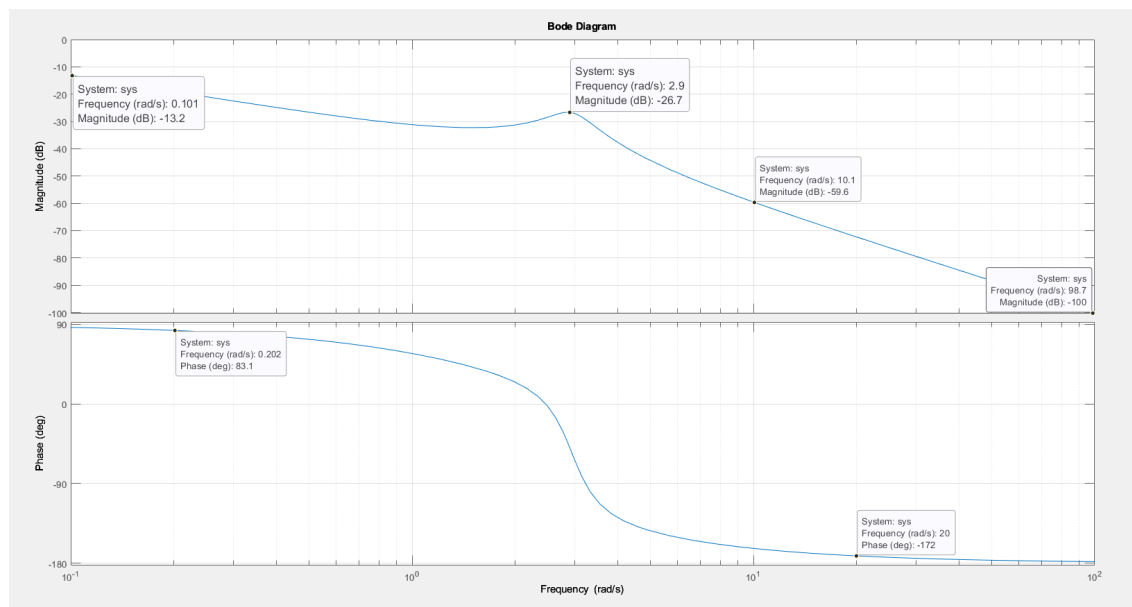
۴ سوال سوم (بخش امتیازی):

با استفاده از SystemIdentification نرم افزار متلب مدل مناسبی برازش کنید.

۱.۴ پاسخ سوال امتیازی

۱.۱.۴. SystemIdentification چیست؟

به طور خلاصه می‌توان گفت به پروسه ساخت مدل‌های ریاضیاتی از سیستم‌های دینامیکی با توجه به برخی داده‌ها، SystemIdentification می‌گوییم. حالا متلب یک toolbox برای این موضوع طراحی کرده است.



شکل ۹: نمودار تابع تبدیل تقریبی بدست آمده

۲.۱.۴. ۲. برازش مدل با SystemIdentification

برای برازش مدل سیستم با استفاده از SystemIdentification در متلب، کد زیر را استفاده می‌کنیم:

```
1 phase_rad = deg2rad(phase);
2 complex_data = magnitude .* exp(1j*phase_rad);
3 frequency_response = idfrd(complex_data, omega, 0);
4 sys = tfest(frequency_response, 3, 1);
5 sys
```

Code 5: systemidentification with matlab

مهم‌ترین دستورات در این کد عبارتند از: idfrd - tfest

- idfrd: با توجه به داده‌هایی که به عنوان ورودی دریافت می‌کند، یک FRD (Frequency Response Data) برای ما ایجاد می‌کند. در واقع این دستور پاسخ فرکانسی را بر اساس داده‌هایی که وارد شده است، استخراج می‌کند. اولین ورودی که دریافت می‌کند یک ورودی مختلط است که شامل اندازه (magnitude) و فاز است که از دیتای خوانده شده در ابتدای پروژه به دست آمده است. توجه داشته باشید که فاز باید بر حسب رادیان باشد. ورودی دوم فرکانس (ω) و ورودی سوم نیز T_s است که برای داده‌های پیوسته مقدار آن برابر ۰ خواهد بود. در نهایت پاسخ فرکانسی در متغیری به نام frequency_response ذخیره می‌شود.
- tfest: این دستور با استفاده از داده‌های پاسخ فرکانسی، تابع تبدیل سیستم را تخمین می‌زند. ورودی اول آن اطلاعات مربوط به پاسخ فرکانسی است، ورودی دوم تعداد قطب‌ها و ورودی سوم تعداد صفرهای سیستم است.



۳.۱.۴. نتیجه کد پس از اجرا شدن:

پس از اجرای کد، سیستم تخمین زده شده به صورت زیر خواهد بود:

```
sys =  
      0.1 s - 0.2  
-----  
      s^3 + 0.9 s^2 + 9 s  
  
Continuous-time identified transfer function.  
  
Parameterization:  
  Number of poles: 3   Number of zeros: 1  
  Number of free coefficients: 5  
  Use "tfdata", "getpvec", "getcov" for parameters and their uncertainties.  
  
Status:  
Estimated using TFEST on frequency response data "frequency_response".  
Fit to estimation data: 100%  
FPE: 3.64e-26, MSE: 3.604e-26
```

شکل ۱۰: سیستم تخمین زده شده با SystemIdentification



مطابق با خروجی تابعی که در قسمت قبل تخمین زده بودیم، تابع تبدیل به دست آمده از متلب بسیار نزدیک به این تابع است:

$$\frac{0.011s - 0.022}{s(0.1156s^2 + 0.0998s + 1)} \quad (14)$$

اگر ضرایب را کمی تقریب بزنیم و ساده کنیم، به همان چیزی خواهیم رسید که متلب بدست آورده است.

$$4.1.4 \quad 4. \text{ تابع دقیق:}$$

تابع دقیق به صورت زیر است:

$$\frac{0.1s - 0.2}{s^3 + 0.9s + 9s} \quad (15)$$

از این به بعد، تابع تبدیل سیستم ما همین است و سایر قسمت‌ها را با همین تابع تبدیل بررسی و تحلیل خواهیم کرد.

۵ سوال چهارم:

با استفاده از معیار پایداری راث-هرویتز مشخص نمایید که به ازای چه مقدار بهره سیستم پایدار می ماند.

۱.۵ پاسخ سوال چهارم

برای بررسی پایداری با استفاده از معیار پایداری راث-هرویتز، ابتدا فرم حلقه بسته تابع تبدیل را مینویسیم:

$$\frac{k \cdot G(s)}{1 + k \cdot G(s)} \quad (16)$$

که در آن $G(s) = \frac{(0.1s-0.2)}{s^3+0.9s+9s}$ است.

بنابراین، فرم حلقه بسته به شکل زیر خواهد بود:

$$\frac{K \left(\frac{0.1s-0.2}{s^3+0.9s+9s} \right)}{1 + K \left(\frac{0.1s-0.2}{s^3+0.9s+9s} \right)} \quad (17)$$

سپس داریم:

$$\Delta = s^3 + 0.9s^2 + 9s + k(0.1s) - k(0.2) \quad (18)$$

که به شکل زیر ساده می شود:

$$\Delta = s^3 + 0.9s^2 + (9 + 0.1k)s - 0.2k \quad (19)$$

حال، جدول را تشکیل می‌دهیم:

s^3	1	$9 + 0.1k$
s^2	0.9	$-0.2k$
s^1	$8.1 + 0.29k$	0
s^0	$-0.2k$	0

مطابق معیار پایداری راث-هرویتز، برای پایداری در ستون اول نباید تغییر علامت داشته باشیم. بنابراین، دو شرط زیر باید برقرار باشد:

$$8.1 + 0.29k > 0 \Rightarrow k > -27.93 \quad (20)$$

$$-0.2k > 0 \Rightarrow k < 0 \quad (21)$$

در نتیجه، محدوده پایداری برای k با توجه به معیار پایداری راث-هرویتز به صورت زیر خواهد بود:

$$-27.93 < k < 0 \quad (22)$$

۶ سوال پنجم:

مکان هندسی سیستم بدست آمده را رسم کنید. با استفاده از این نمودار تحلیل کنید که آیا میتوان از کنترل کننده تناسبی استفاده کرد و سیستم را به پایداری رساند؟ با استفاده از کدام یک از کنترل کننده های صنعتی PI و PD میتوانیم سیستم را به پایداری برسانیم؟ توضیح دهید.

۱.۶ پاسخ سوال پنجم - مکان هندسی

برای رسم مکان هندسی ریشه‌ها، ابتدا از کد زیر استفاده می‌کنیم:

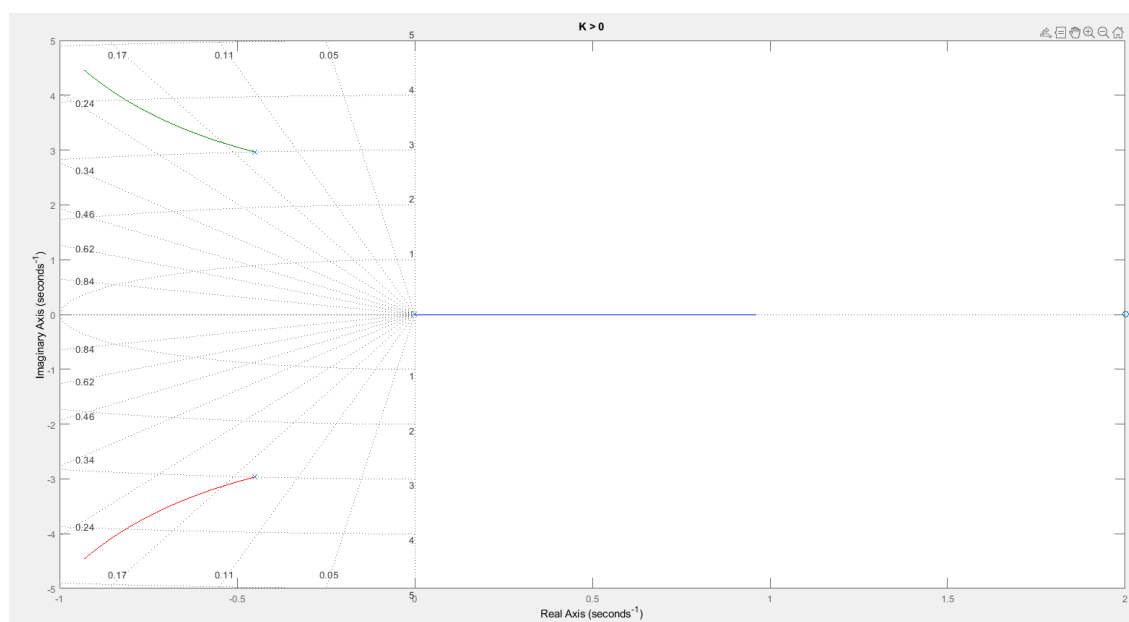
```
1 figure;
2 rlocus(sys, linspace(0, 100, 1000));
3 title('K > 0');
4 figure;
5 rlocus(sys, linspace(0, -100, 1000));
```

```
6 title('K < 0');
```

Code 6: lc_p5_rlocus.m

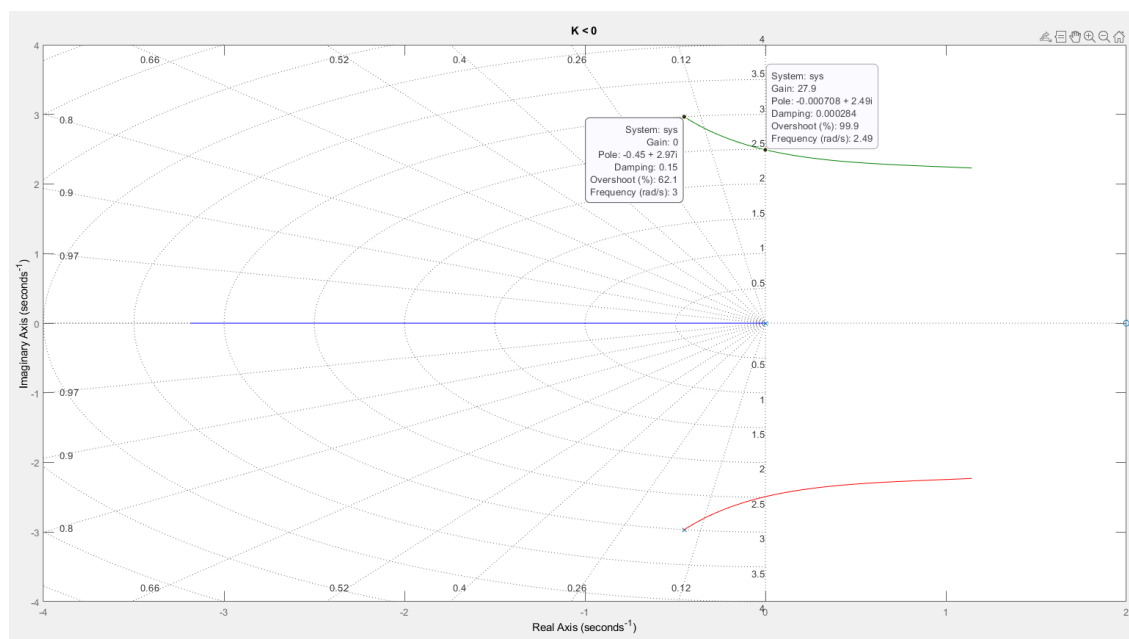
در اینجا مکان هندسی ریشه‌ها به ازای دو مقدار مختلف بهره k رسم شده است.

۱.۱.۶ مکان هندسی ریشه‌ها به ازای بهره مثبت



شکل ۱۱: مکان هندسی ریشه‌ها به ازای بهره مثبت

۲.۱.۶ مکان هندسی ریشه‌ها به ازای بهره منفی

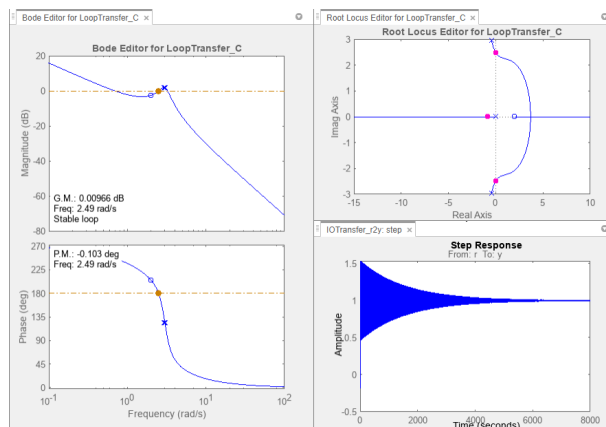


شکل ۱۲: مکان هندسی ریشه‌ها به ازای بهره منفی

مطابق نتایج حاصل شده، به ازای هیچ $k > 0$ سیستم ما پایدار نمی‌شود. چرا؟ چون قطب مبدا دارد و با زیاد شدن بهره، به سمت صفر غیر کمینه فاز حرکت می‌کند (در جایی که قطب هست بهره صفر و در جایی که صفر هست بهره بی‌نهایت است). در نتیجه هیچ‌گاه به ازای $k > 0$ پایداری نخواهیم داشت. اما به ازای $k < 0$ ، اگر بررسی کنیم، مشاهده می‌شود که برای یک بازه محدود می‌توانیم پایداری داشته باشیم. از $k = -27.9$ تا $k = 0$ می‌توان بهره را تغییر داد و سیستم را با بهره تناسبی پایدار کرد.

۳.۱.۶ مکان هندسی ریشه‌ها به ازای $k = -27.9$

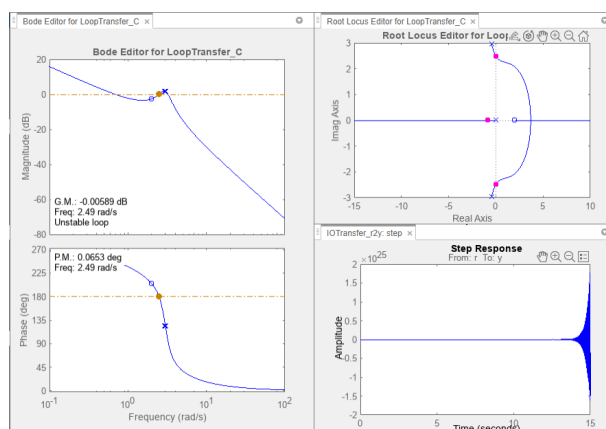
در تصویر زیر رفتار سیستم به ازای $k = -27.9$ مشاهده می‌شود و همچنان سیستم حلقه بسته پایدار است:



شکل ۱۳: $k = -27.9$

۴.۱.۶ مکان هندسی ریشه‌ها به ازای $k = -27.95$

ولی اگر بهره را به $k = -27.95$ تغییر دهیم، مشاهده می‌شود که سیستم ناپایدار شده است:

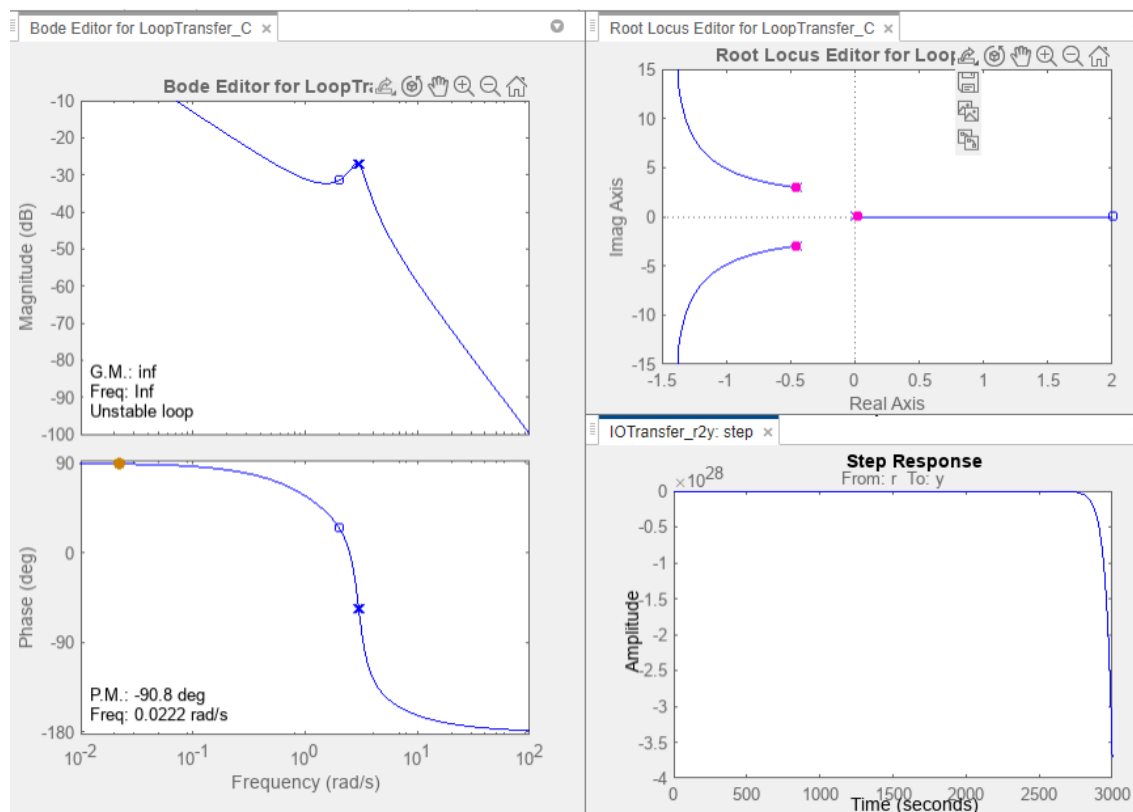


شکل ۱۴: $k = -27.95$

۲.۶ پاسخ سوال پنجم - PI یا PD؟

۱.۲.۶ سیستم بدون کنترلر

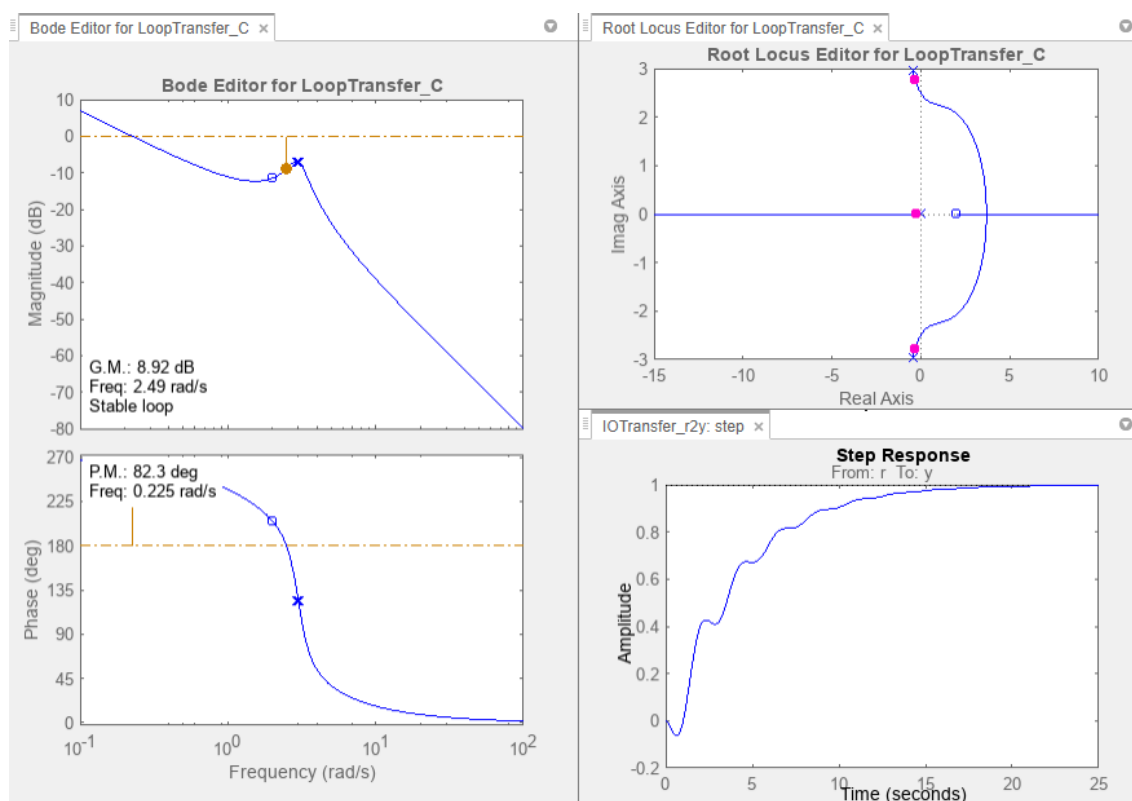
در ابتدا، رفتار سیستم بدون هیچ کنترلر به شکل زیر است:



شکل ۱۵: رفتار سیستم بدون هیچ کنترلر

همانطور که مشخص است، سیستم رفتار ناپایداری دارد. حالا یک بهره منفی در بازه مجاز، برای مثال $k = -10$ ، انتخاب می‌کنیم و به سیستم اضافه می‌کنیم:

در این حالت سیستم پایدار شده و فرکانس گذر بهره هم 0.225 است.



شکل ۱۶: سیستم پایدار به ازای $k = -10$

۲.۲.۶ طراحی کنترلر PI

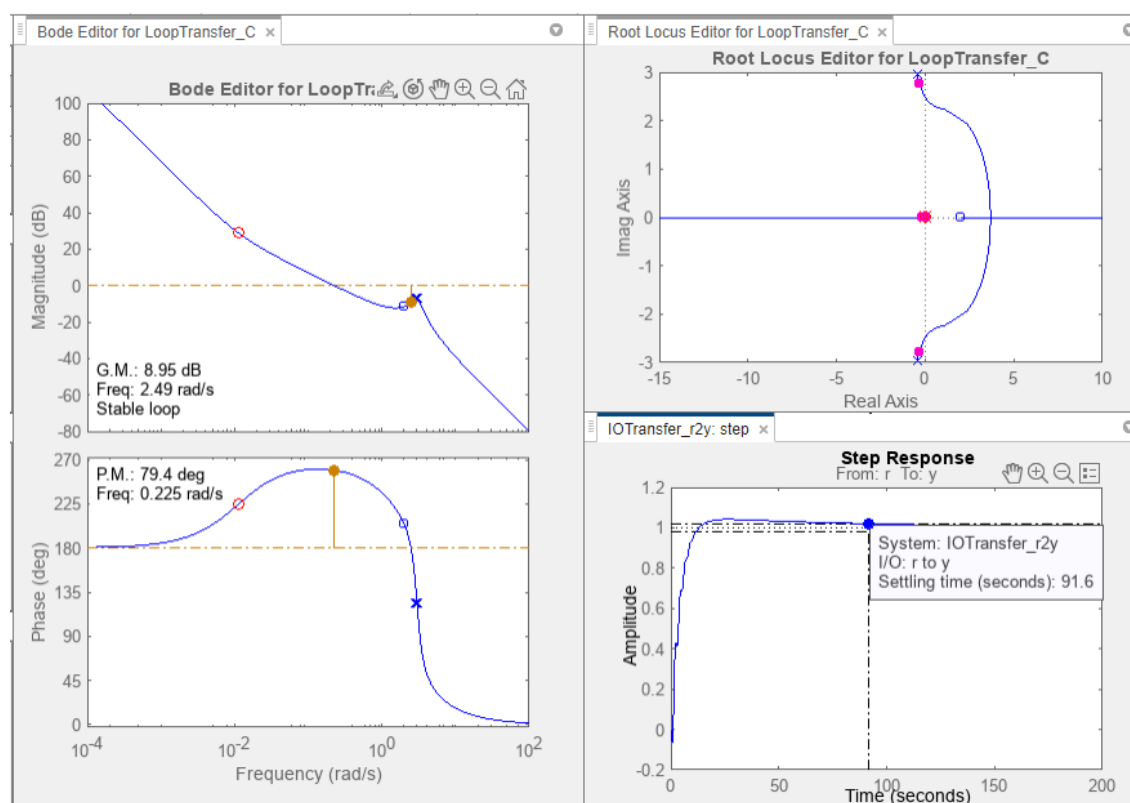
با توجه به اینکه فرکانس گذر بهره $\omega_c = 0.225$ است و داریم $\epsilon = 0.05$ تغییر دهیم، داریم:

$$T = \frac{1}{\omega_c \times \epsilon} = \frac{1}{0.225 \times 0.05} = 88.9 \quad (23)$$

بنابراین، کنترلر PI به شکل زیر خواهد بود:

$$\text{controller PI} = -10 \times \left(1 + \frac{1}{88.9s} \right) = -10 \times \frac{s + 0.01125}{s} \quad (24)$$

تأثیر کنترلر PI به صورت زیر خواهد بود:



شکل ۱۷: اثر کنترلر PI

پس با استفاده از کنترلر PI نیز می‌توان سیستم را پایدار نگه داشت، اما سیستم به شدت کند خواهد شد.

۳.۲.۶ آیا با PD می‌توانیم سیستم را پایدار کنیم؟

برای بررسی این موضوع، ابتدا سیستم ناپایدار اولیه را در نظر می‌گیریم. سپس، طراحی PD به صورت زیر انجام می‌شود: در ابتدا، کنترلی طراحی می‌کنیم که حاشیه فاز را حداقل 45° جا به جا کند:

$$\omega_c = 0.022 \quad (25)$$

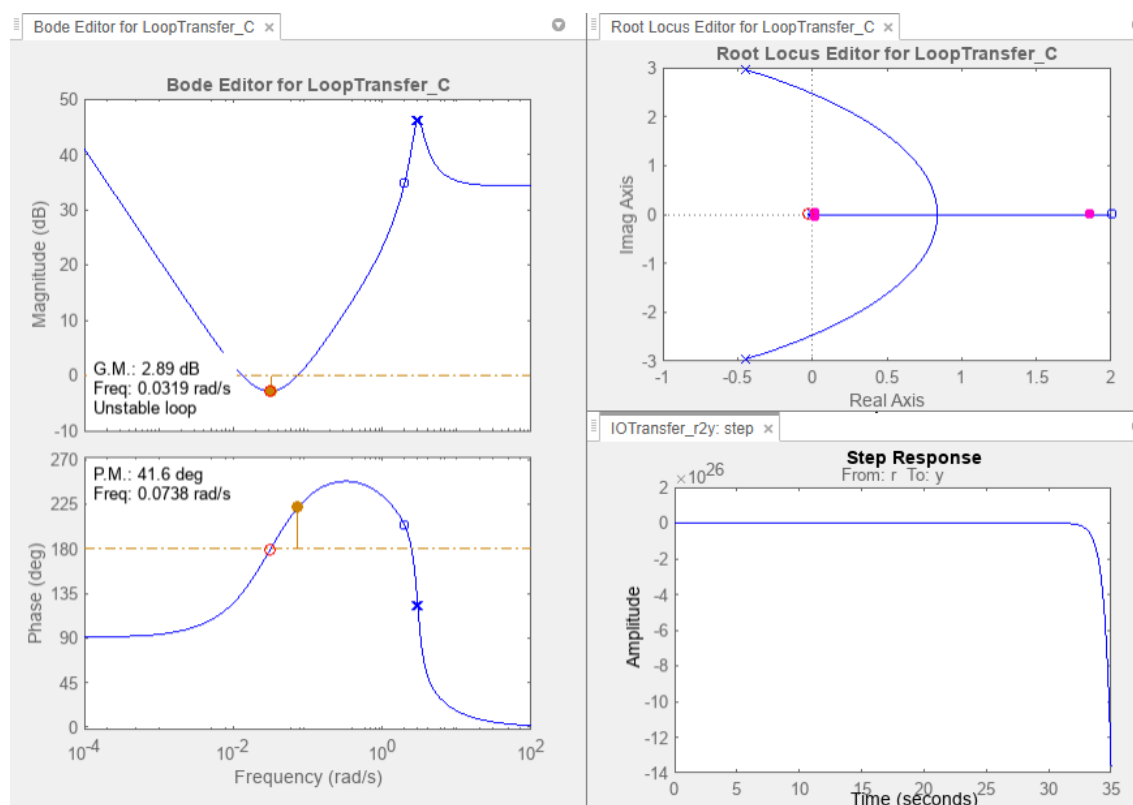
$$T = \frac{\tan(45^\circ)}{\omega_c} = \frac{1}{0.022} \quad (26)$$

بنابراین، کنترلر PD به شکل زیر خواهد بود:

$$\text{controller PD} = 0.71 \times (32s + 1) \quad (27)$$

اگر این کنترلر را دوبار داخل سیستم استفاده کنیم، باید حاشیه فاز را جا به جا کند و سیستم تا حدی پایدار شود. نتیجه به شکل زیر است:

با این حال، سیستم همچنان ناپایدار است و حتی ورودی شیب را نیز دنبال نمی‌کند.



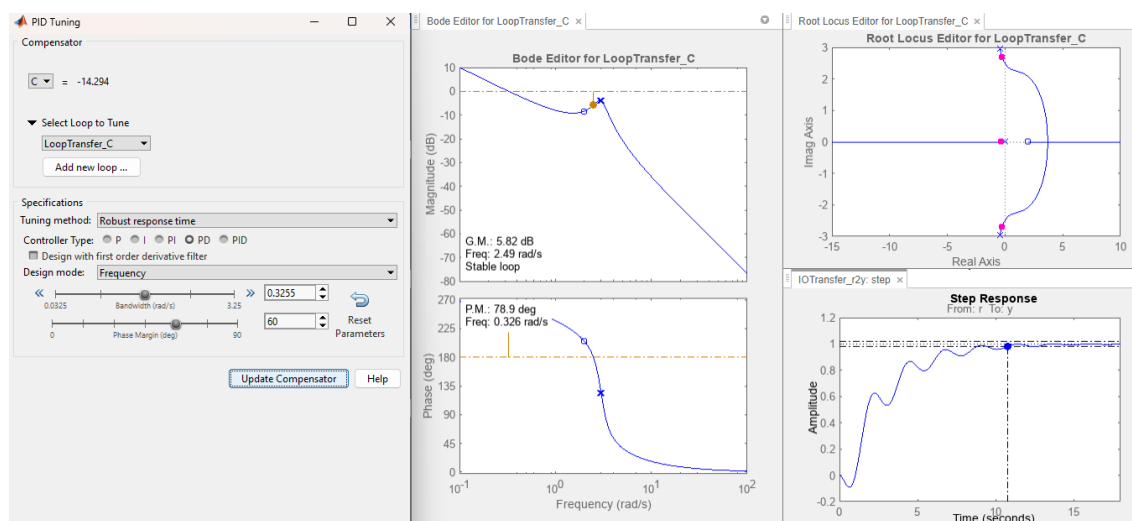
شکل ۱۸: اثر کنترلر PD

۴.۲.۶ بررسی PID Tuner

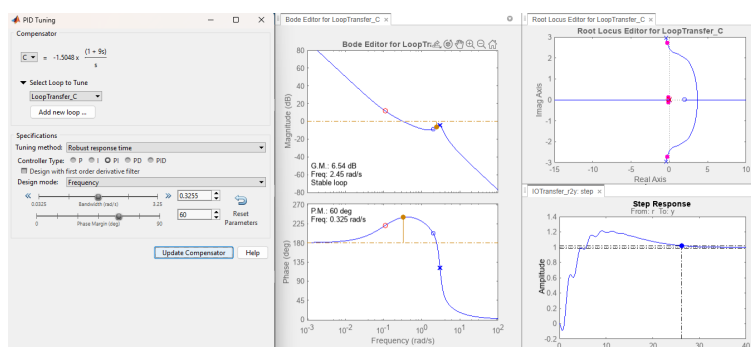
برای اطمینان از صحت نتیجه بدست آمده، از PID Tuner که در متلب موجود است، استفاده می‌کنیم. با استفاده از این ابزار، چه با PI و چه با PID سیستم پایدار می‌شود. ولی زمانی که فقط از PD استفاده می‌کنیم، تنها بهره ثابت به عنوان کنترلر به ما داده می‌شود. در نتیجه با کنترلر PD نمی‌توانیم سیستم را پایدار کنیم.

۳.۶ نتیجه

در نهایت، با استفاده از بهره ثابت که در قسمت اول محاسبه شد و با کنترلر PI می‌توان سیستم را پایدار کرد. اما با استفاده از کنترلر PD به تنهایی، امکان پایدار کردن سیستم وجود ندارد.



شکل ۱۹: PID Tuning with PD



شکل ۲۰: PID Tuning with PI

۷ سوال ششم:

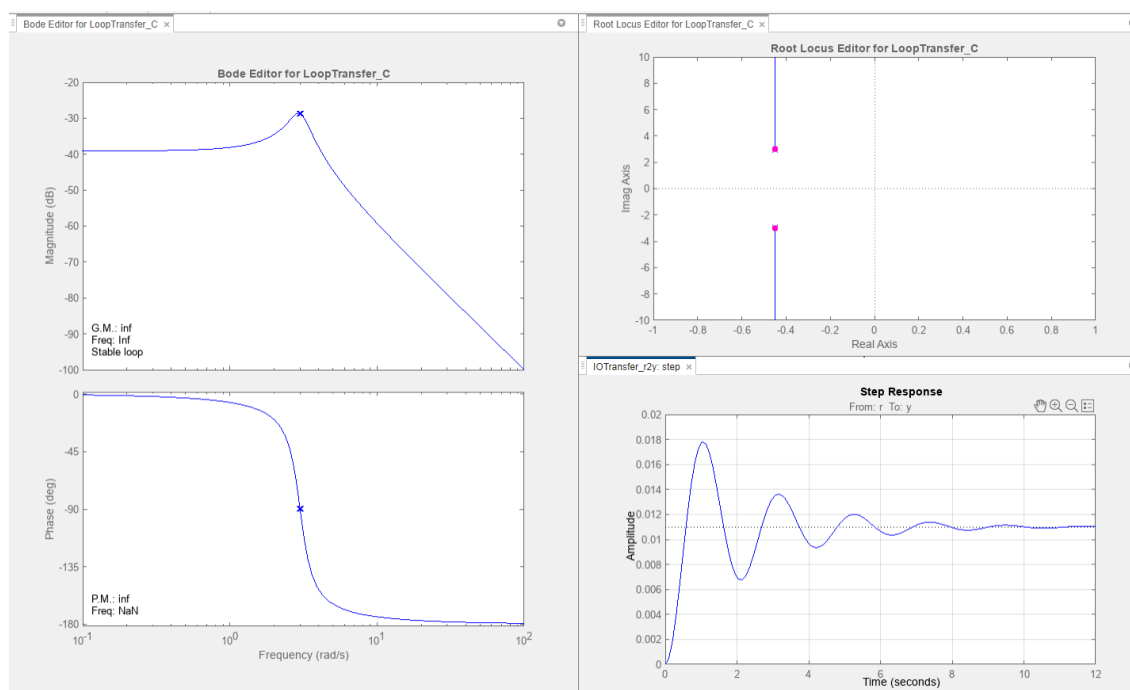
در سیستمی که بدست آوردید عبارت $\frac{s-a}{s}$ را از مدل حذف کنید. یعنی سیستم هیچ صفر و قطبی در مبدا نداشته باشد. سپس برای این سیستم کنترل کننده ای طراحی کنید که فراجش بین ۱۰ تا ۱۵ درصد داشته باشد و زمان نشست هم کمتر از ۱۰ ثانیه باشد. پس از طراحی این کنترل کننده، خروجی سیستم را رسم کرده و با سیستم کنترل نشده مقایسه کنید.

۱.۷ پاسخ سوال ششم

۱.۱.۷ سیستم خواسته شده

با حذف عبارت $\frac{s-a}{s}$ از مدل، سیستم مورد نظر به شکل زیر خواهد بود:

$$G(s) = \frac{0.1}{s^2 + 0.9s + 9} \quad (28)$$

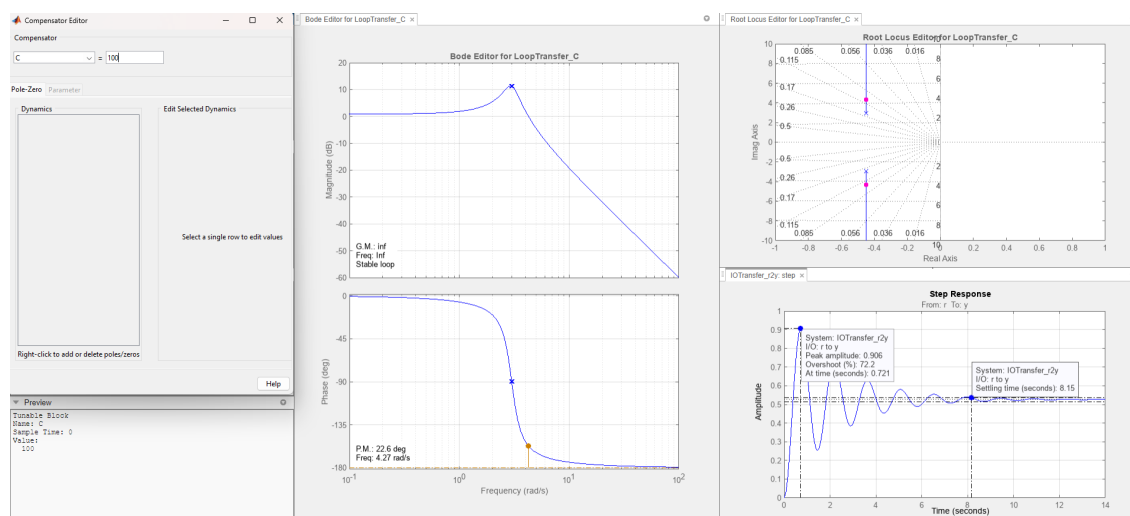


شکل ۲۱: رفتار زمانی و فرکانسی سیستم

در نگاه اول، سیستم کاملاً ناپایدار به نظر می‌رسد و خطای حالت ماندگار بالایی دارد. هرچند که زمان نشست اولیه سیستم کمتر از ۱۰ ثانیه است، اما نیاز به بهبود عملکرد دارد.

۲.۱.۷ افزودن بهره ثابت

برای شروع، یک بهره به سیستم اعمال می‌کنیم تا عملکرد آن بهبود یافته و خطای حالت ماندگار کاهش یابد. مقدار بهره اولیه را برابر ۱۰۰ انتخاب می‌کنیم:



شکل ۲۲: سیستم با بهره $K = 100$

پس از اعمال بهره، سیستم پایدارتر شده و خطای حالت ماندگار نیز کاهش یافته است. زمان نشست همچنان مناسب است اما فراجش زیادی مشاهده می شود که مقدار آن 72.2 درصد است. برای کاهش فراجش از یک کنترل کننده Lead استفاده می کنیم.

۳.۱.۷ طراحی کنترلر Lead

برای بهبود سیستم، یک صفر نزدیک مبدا و یک قطب دور از مبدا انتخاب می کنیم. این انتخاب با آزمون و خطا انجام شده تا بهترین نتیجه حاصل شود.

چرا صفر باید نزدیک مبدا باشد؟

- باعث افزایش حاشیه فاز در فرکانس های پایین می شود.

- سرعت پاسخ سیستم را افزایش می دهد.

چرا قطب باید دور باشد؟

- تأثیر منفی در فرکانس های بالا را کاهش می دهد.

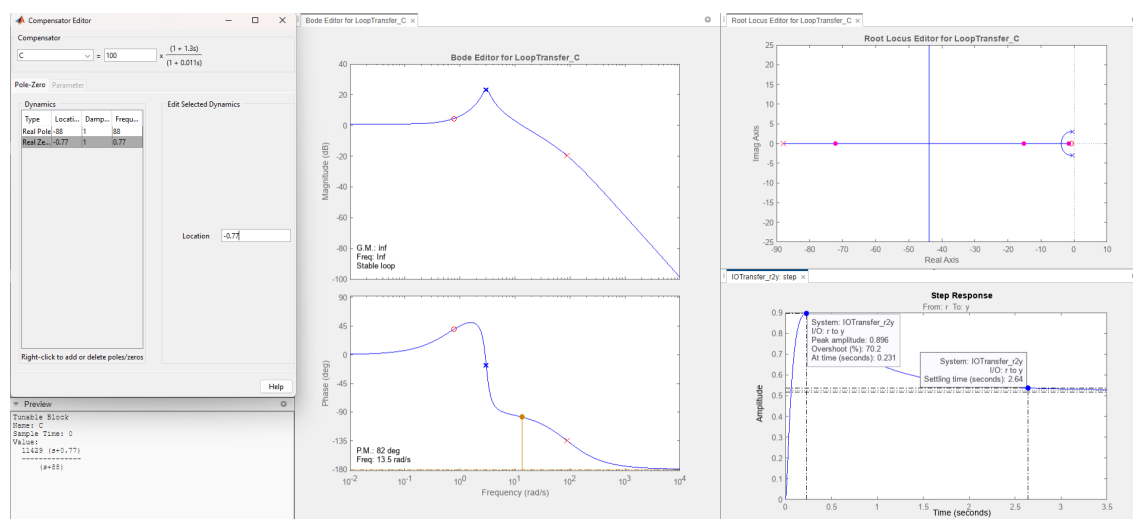
- پایداری در فرکانس های بالا را بهبود می بخشد.

پارامترهای کنترلر Lead:

$$\text{Zero} = -0.77, \quad \text{Pole} = -88 \quad (29)$$

پس از اعمال کنترلر Lead، سیستم به شکل زیر تغییر پیدا می کند:

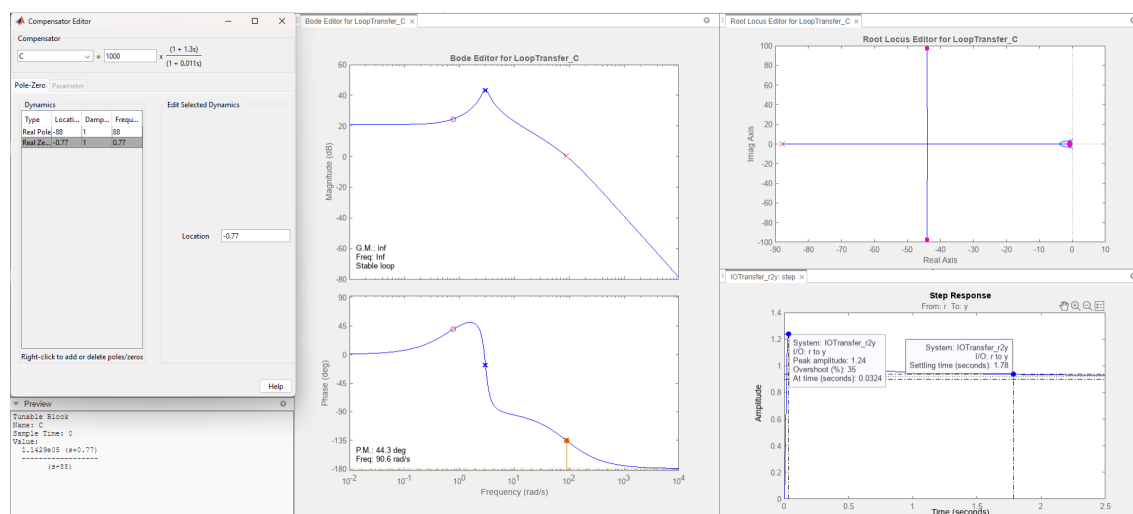
حاشیه فاز سیستم بهبود یافته، اما فراجش همچنان ۷۰ درصد است. زمان نشست کاهش یافته و سیستم پاسخ سریعتری دارد، اما نیاز به بهبود بیشتر دارد.



شکل ۲۳: سیستم با $K = 10$ ، قطب -88 ، صفر -0.77 —

۴.۱.۷ افزودن بهره ثابت جدید

برای کاهش بیشتر فراجش، یک بهره جدید به سیستم اعمال می‌کنیم. مقدار بهره جدید را برابر ۱۰ در نظر می‌گیریم:



شکل ۲۴: سیستم با $K = 1000$ ، قطب -88 ، صفر -0.77 —

تأثیر تغییر بهره:

• کاهش حاشیه فاز

• بهبود فراجش و زمان نشست

با این حال، فراجش سیستم همچنان بالا است و مقدار آن ۳۵ درصد است. در حالی که زمان نشست ۷۸.۱ ثانیه و سیستم کاملاً پایدار است، اما برای برآورده کردن شرایط مسئله باید فراجش را کاهش دهیم. برای این کار، یک کنترلر Lag اضافه می‌کنیم.



۵.۱.۷ طراحی کنترلر Lag

یک صفر و یک قطب دیگر به سیستم اضافه می‌کنیم. این بار:

- قطب را نزدیک مبدا قرار می‌دهیم.
- صفر را نسبت به قطب، دورتر از مبدا قرار می‌دهیم.

پارامترهای کنترلر Lag:

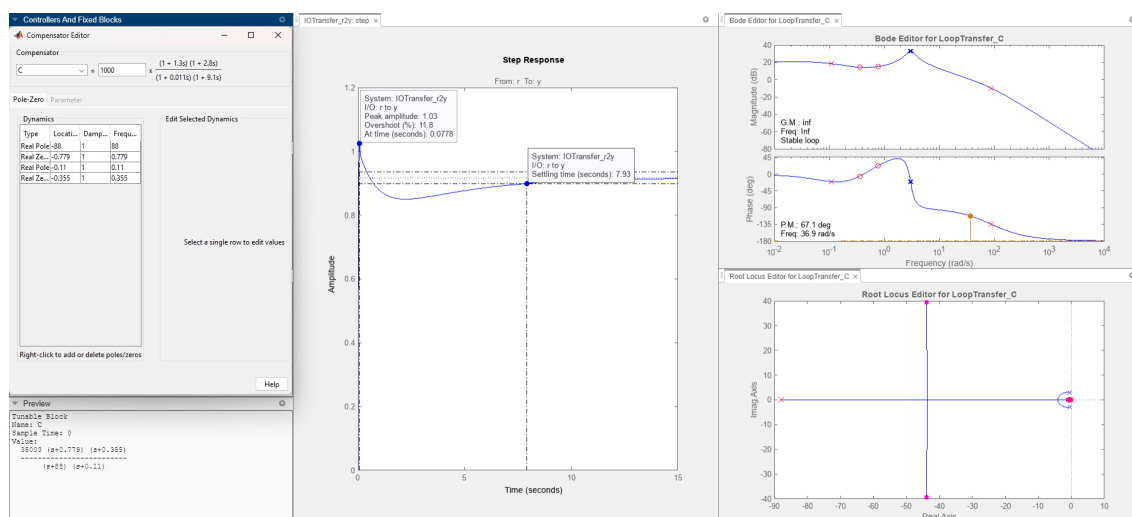
$$\text{Pole} = -0.11, \quad \text{Zero} = -0.355 \quad (30)$$

۶.۱.۷ کنترلر نهایی Lead-Lag

پس از ترکیب کنترلرهای Lead و Lag، کنترلر نهایی به شکل زیر خواهد بود:

$$C(s) = 35003 \times \frac{(s + 0.779)(s + 0.335)}{(s + 88)(s + 0.11)} \quad (31)$$

خروجی سیستم کنترل شده به شکل زیر خواهد بود:



شکل ۲۵: رفتار سیستم با کنترلر Lead-Lag

۷.۱.۷ نتایج نهایی

در نهایت، سیستم کنترل شده دارای مشخصات زیر است:

- پایدار است.
- فراجهش برابر 11.8 درصد است که در بازه ۱۰ تا ۱۵ درصد مورد نظر مسئله قرار دارد.
- زمان نشست برابر 7.93 ثانیه است که کمتر از ۱۰ ثانیه می‌باشد.



۸ سوال هفتم

در این بخش باید کنترل کننده‌هایی طراحی کنید که خواسته‌های کنترلی را ارضا کند:

- برای سیستم تخمین زده شده، کنترل کننده‌ای طراحی کنید که خطای ماندگار در تعقیب شیب ورودی را به زیر ۲ درصد برساند.
- با استفاده از تابع تبدیل حساسیت، کنترل کننده‌ای طراحی کنید که فراجش سیستم به کمتر از ۶ درصد و زمان نشست را به زیر ۶ ثانیه برساند. خروجی نهایی سیستم و رفتار سیگنال کنترلی را به ازای ورودی شیب و پله نمایش دهید.

۱.۸ پاسخ سوال هفتم - بخش اول:

سیستم تخمین زده شده به صورت زیر مشخص شد:

$$G(s) = \frac{0.1s - 0.2}{s^3 + 0.9s^2 + 9s} \quad (32)$$

برای بررسی خطای ماندگار به ورودی شیب، k_v را بررسی می‌کنیم:

$$\lim_{s \rightarrow 0} sG(s) = \frac{-0.2}{9} \quad (33)$$

طبق خواسته سوال، خطا باید کمتر از ۲ درصد باشد:

$$e_{\text{desired}} < 2\% \Rightarrow e_{\text{desired}} < \frac{2}{100} \Rightarrow \frac{1}{k_{v_{\text{desired}}}} < \frac{1}{50} \Rightarrow k_{v_{\text{desired}}} > 50 \quad (34)$$

در نتیجه، بهره مطلوبی که باید به سیستم افزوده شود، برابر است با:

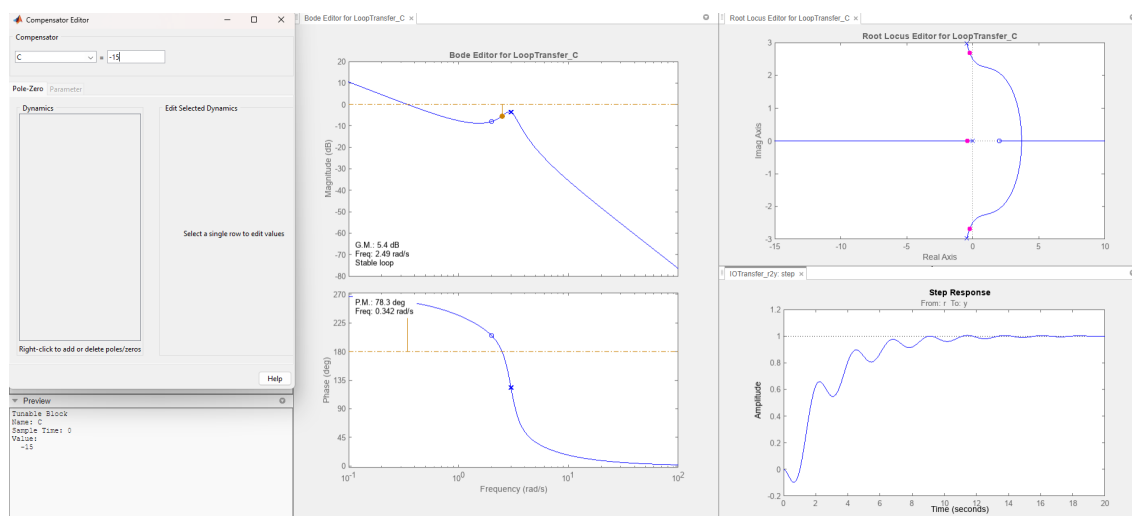
$$\frac{50}{\left(\frac{-0.2}{9}\right)} = 2250 \quad (35)$$

این بهره خیلی زیاد است و نمی‌توانیم آن را به صورت مستقیم به سیستم اضافه کنیم. بنابراین، ابتدا بهره‌ای ثابت به سیستم اضافه می‌کنیم.

۱.۱.۸ اضافه کردن بهره ثابت

ابتدا یک بهره ثابت $k = -15$ به سیستم اضافه می‌کنیم که باعث بهبود عملکرد سیستم شده و امکان تعقیب ورودی شیب را فراهم می‌آورد. نمودار سیستم در این شرایط به صورت زیر است:
در این شرایط، مجدد k_v را بررسی می‌کنیم:

$$\lim_{s \rightarrow 0} k_s G(s) = -15 \times \frac{-0.2}{9} = \frac{1}{3} \quad (36)$$



شکل ۲۶: سیستم با بهره ثابت $k = -15$

بهره‌ای که باید به سیستم اضافه کنیم برابر است با:

$$\frac{50}{\frac{1}{3}} = 150 \quad (37)$$

برای کاهش این خطا، از کنترل کننده Lag استفاده می‌کنیم.

۲.۱.۸ طراحی کنترل کننده Lag

برای شروع، بهره $K_c = 8$ را در نظر می‌گیریم.

محاسبات طراحی کنترل کننده Lag به شکل زیر است:

$$k_1 = K_c - 1 = 7 \quad (38)$$

$$\alpha = \frac{1}{K_c} = 0.125 \quad (39)$$

$$w_c = 0.342 \quad (40)$$

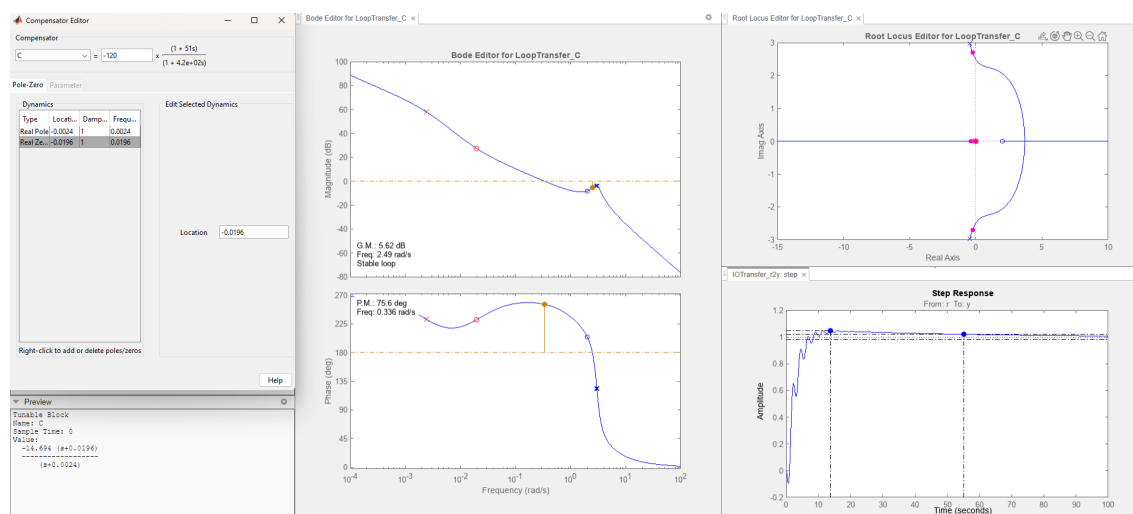
$$T = \frac{\sqrt{(k_1/\epsilon)^2 - 1}}{w_c} = 409 \quad (41)$$

بنابراین، کنترل کننده Lag به صورت زیر خواهد بود:

$$Lag_{compensator} = K_c \times \frac{(\alpha Ts + 1)}{(Ts + 1)} = 8 \times \frac{(51.1s + 1)}{(409s + 1)} \quad (42)$$

پس از اعمال این کنترل کننده، رفتار سیستم به شکل زیر خواهد بود:

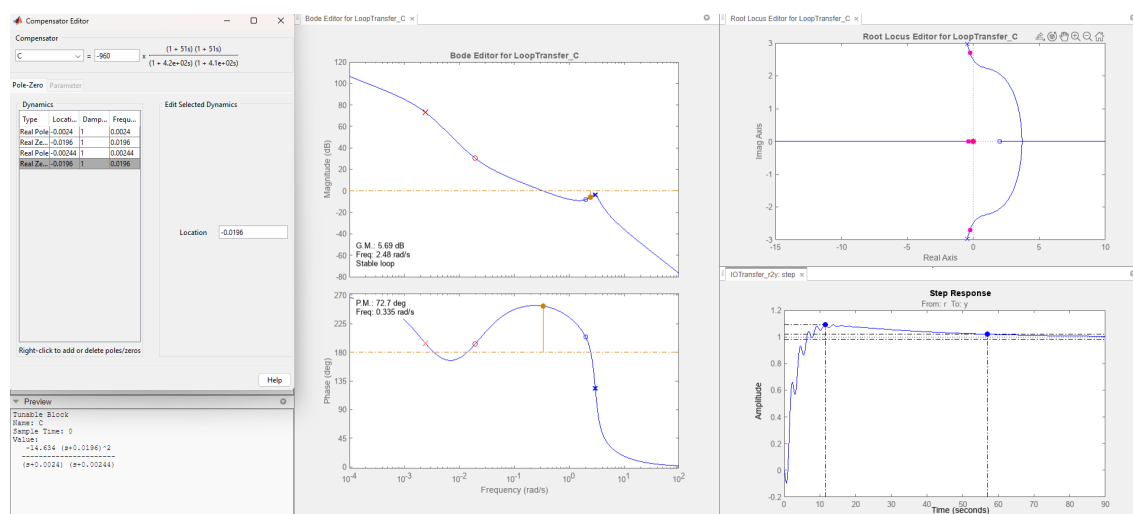
در این مرحله، k_v سیستم برابر با ۷.۲ است. حالا برای بهبود بیشتر، دو عدد کنترل کننده Lag به سیستم اضافه می‌کنیم.



شکل ۲۷: رفتار سیستم بعد از اضافه کردن کنترل کننده Lag

۳.۱.۸ اضافه کردن دو تا Lag یکسان به سیستم

پس از اضافه کردن دو کنترل کننده Lag، سیستم به شکل زیر خواهد بود:



شکل ۲۸: اضافه کردن تکراری به سیستم

در این شرایط، $k_v = 21.3$. پس از این مرحله، باید بهره سیستم را تغییر دهیم تا خطای ماندگار را به زیر ۲ درصد بیاوریم.

۴.۱.۸ طراحی Lag جدید برای کاهش خطا

برای اینکه خطای ماندگار کمتر از ۲ درصد شود، بهره باید به میزان 2.35 تغییر کند. بنابراین، کنترل کننده جدید به صورت زیر طراحی می شود:

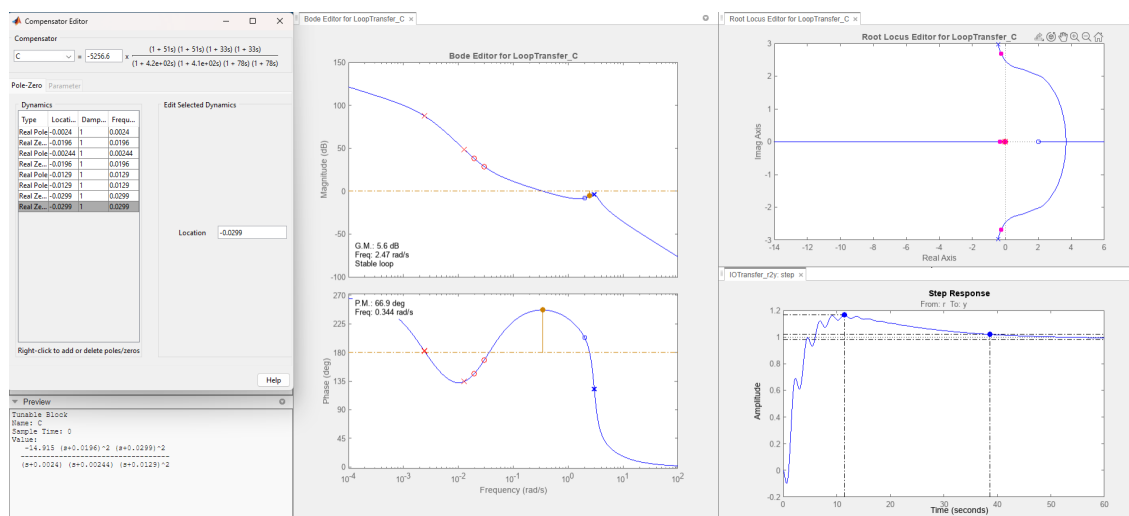
$$K_c = 2.35, \quad k_1 = 1.35, \quad w_c = 0.335, \quad \alpha = \frac{1}{K_c} = 0.43 \quad (43)$$

$$T = 77.68 \quad (44)$$

$$Lag_{compensator2} = 2.35 \times \frac{(33.5s + 1)}{(77.68s + 1)} \quad (45)$$

با اضافه کردن این کنترل کننده، k_v برابر با ۹۲.۴۹ می شود و خطای ماندگار کاهش می یابد. حالا برای بهبود بیشتر، دوباره از دو کنترل کننده Lag استفاده می کنیم.

در این حالت، $k_v = 116.7$ و خطای ماندگار برابر با ۸۶.۰ درصد می شود که شرایط مسئله را ارضا می کند. نمودار سیستم پس از اضافه کردن چهار کنترل کننده Lag به شکل زیر خواهد بود:



شکل ۲۹: رفتار سیستم با کنترل کننده نهایی

نتایج:

- سیستم پایدار است.
- حاشیه فاز و حاشیه بهره بهترین مقادیر خود را دارند.
- فراجش بسیار کم است.
- تنها مشکلی که وجود دارد، کمی کند شدن سیستم است که می توان با استفاده از یک کنترل کننده Lead آن را بهبود بخشید، اما این مورد در خواسته سوال نبوده است.

۲.۸ پاسخ سوال هفتم - قسمت دوم:

۱.۲.۸ پیدا کردن تابع حساسیت

برای بدست آوردن تابع حساسیت، ابتدا باید تابع متمم حساسیت T را پیدا کنیم. زمانی که صفر غیرکمینه فاز در z_0 وجود دارد، باید حتماً داشته باشیم:

$$T(z_0) = 0 \quad (46)$$

در این شرایط، پهنای باند سیستم حلقه بسته باید دو تا ده برابر کوچکتر از محل صفر غیرکمینه فاز باشد. در سیستم اصلی ما، درجه نسبی ۲ است و یک شرط درونیابی داریم. بنابراین، تابع متمم حساسیت باید درجه ۳ داشته باشد. من فرکانس گذر بهره را به شکل زیر در نظر گرفتم:

$$w_c = 0.5 \quad (47)$$

چون صفر غیرکمینه فاز در ۲ قرار دارد، فرکانس گذر بهره را ۴ برابر کوچکتر از آن در نظر گرفتم:

$$T_d = (0.5^3) \times \left(\frac{s}{\tau} + 1 \right) / (s + 0.5)^3 \quad (48)$$

پس:

$$T_d(2) = 0 \Rightarrow \tau = -2 \quad (49)$$

بنابراین، تابع متمم حساسیت به شکل زیر است:

$$T_d = 0.125 \times \left(-\frac{s}{2} + 1 \right) / (s + 0.5)^3 \quad (50)$$

در نتیجه، تابع حساسیت S به صورت زیر خواهد بود:

$$S = 1 - T_d = \frac{s^3 + 1.5s^2 + \frac{13s}{16}}{(s + 0.5)^3} \quad (51)$$

۳.۸ طراحی کنترلر:

در حال حاضر، تابع‌های انتقال سیستم به شرح زیر هستند:

$$T = \frac{0.125 \left(-\frac{s}{2} + 1 \right)}{(s + 0.5)^3} \quad (52)$$

$$S = \frac{s^3 + 1.5s^2 + \frac{13s}{16}}{(s + 0.5)^3} \quad (53)$$

$$P = \frac{0.1s - 0.2}{s^3 + 0.9s^2 + 9s} \quad (54)$$

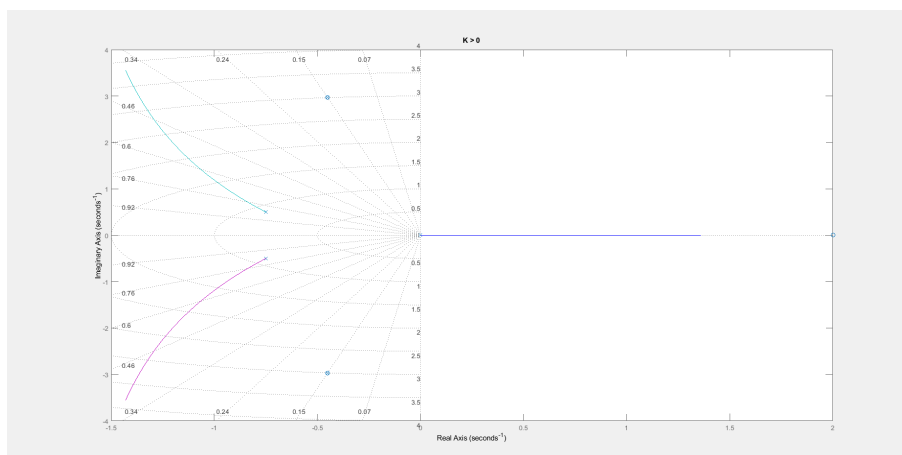
حال کنترلر حساسیت C به صورت زیر محاسبه می شود:

$$C = \frac{T}{S \cdot P} = k \cdot \frac{(s^3 + 0.9s^2 + 9s)}{(s^3 + 1.5s^2 + \frac{13s}{16})} \quad (55)$$

این کنترلر حساسیت ما خواهد بود.

۱.۳.۸ بررسی مکان هندسی سیستم

برای بررسی پایداری سیستم، مکان هندسی $k > 0$ را تحلیل می کنیم. نتایج نشان می دهند که برای بهره مثبت، سیستم پایدار نخواهد بود.

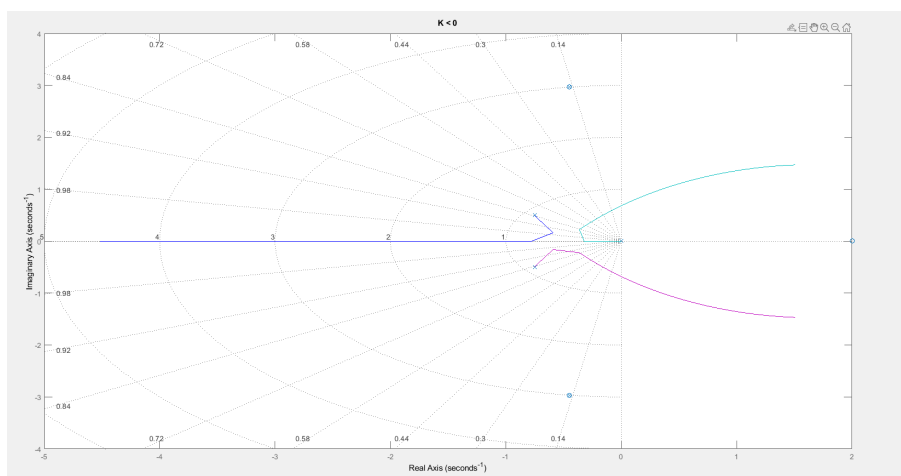


شکل ۳۰: مکان هندسی با بهره مثبت

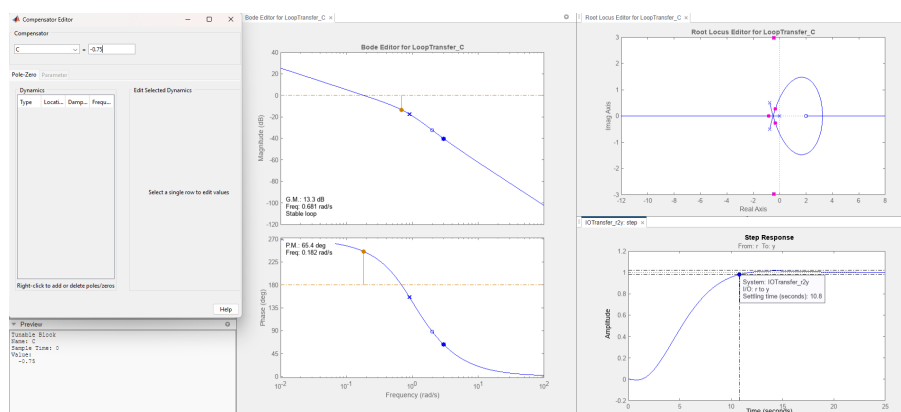
در این نمودار، مشخص است که به ازای بهره مثبت، سیستم ناپایدار است. حال برای بررسی مکان هندسی به ازای $k < 0$ ، مشاهده می کنیم که در برخی نقاط، سیستم می تواند پایدار باشد. نتایج نشان می دهند که با استفاده از بهره منفی، سیستم می تواند پایدار شود.

۲.۳.۸ بررسی بهره مناسب

برای پیدا کردن بهره مناسب، از ابزار ControlSystemDesign در متلب استفاده کردم. با بررسی بهره های منفی، بهره ای که بهترین رفتار فرکانسی و زمانی را می دهد، بدست آمد. با بهره $k = -0.75$ ، سیستم به رفتار زیر رسید:



شکل ۳۱: مکان هندسی با بهره منفی



شکل ۳۲: سیستم با بهره ثابت $k = -0.75$

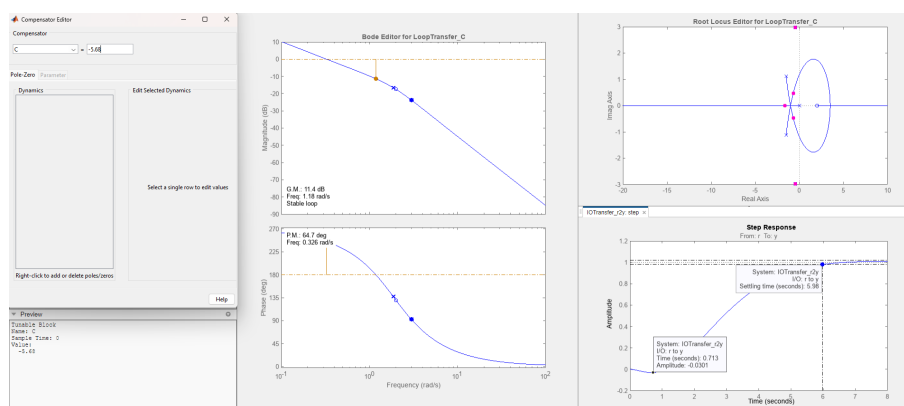
اما همانطور که مشاهده می‌شود، زمان نشست سیستم به مقدار مورد نظر (کمتر از ۶ ثانیه) نمی‌رسد. به همین دلیل، تصمیم گرفتم که فرکانس گذر بهره را از ۵.۰ به ۱ تغییر دهم.

۳.۳.۸ اصلاح فرکانس گذر بهره

با تغییر فرکانس گذر بهره به ۱، فرآیند طراحی دوباره آغاز می‌شود. در این شرایط، تابع کنترلر به صورت زیر خواهد بود:

$$C = k \cdot \frac{(s^3 + 0.9s^2 + 9s)}{(s^3 + 3s^2 + \frac{7s}{2})} \quad (56)$$

در این حالت، همچنان به ازای بهره مثبت، سیستم ناپایدار است و باید با استفاده از بهره منفی، سیستم پایدار شود. با استفاده از ControlSystemDesign و بررسی بهره‌های مختلف، در نهایت به بهره $k = -5.68$ رسیدم که هر دو شرط خواسته شده در سوال را ارضا کرد.



شکل ۳۳: رفتار نهایی سیستم با بهره $k = -5.68$

۴.۳.۸ نتایج نهایی

با بهره $k = -5.68$ ، دو شرط خواسته شده به این صورت ارضا شدند:

- زمان نشست سیستم برابر با ۹۸.۵ ثانیه است که کمتر از ۶ ثانیه می باشد.
- فراجش سیستم برابر با ۳ درصد است که کمتر از ۶ درصد می باشد.

۵.۳.۸ رفتار سیگنال کنترلی

در این بخش، رفتار سیگنال کنترلی به ازای ورودی های مختلف مورد بررسی قرار می گیرد. برای ورودی شیب و پله، نمودارهای سیگنال کنترلی به ترتیب به صورت زیر هستند:

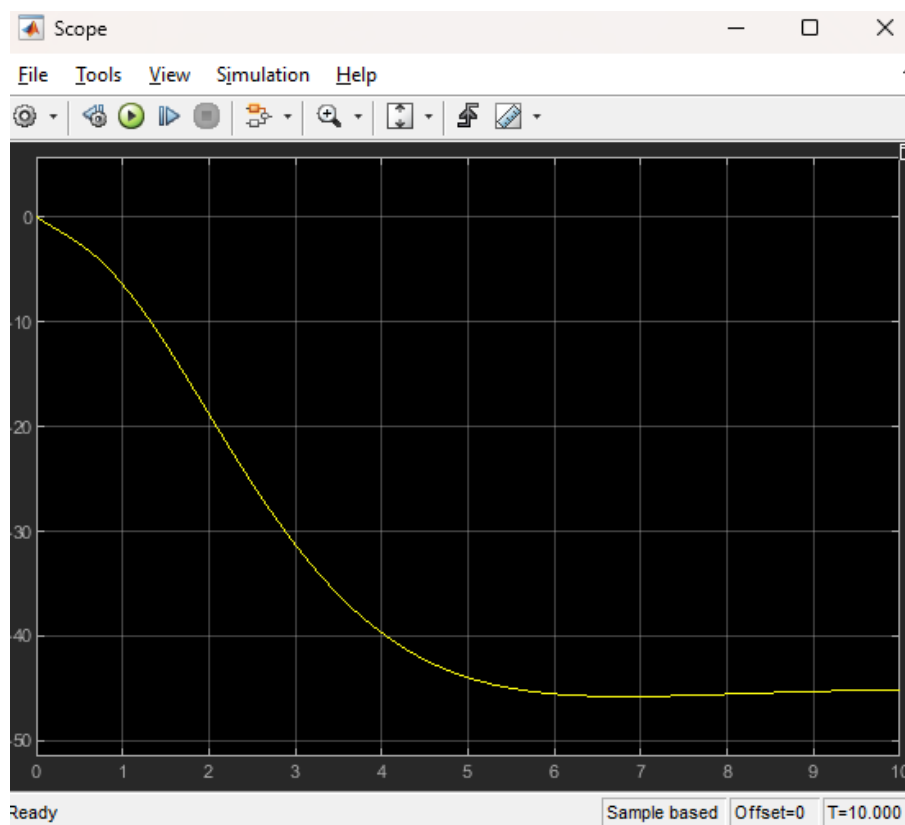
۶.۳.۸ تحلیل رفتار کنترلی

- سیستم تیپ یک است، بنابراین رفتار کنترلی به ازای ورودی پله در نهایت به صفر میل خواهد کرد. همچنین در ابتدا یک فروجهش نسبتاً قابل توجهی مشاهده می شود. این امر به دلیل وجود کمیابی در پاسخ سیستم است که معمولاً در سیستم های تیپ یک رخ می دهد.

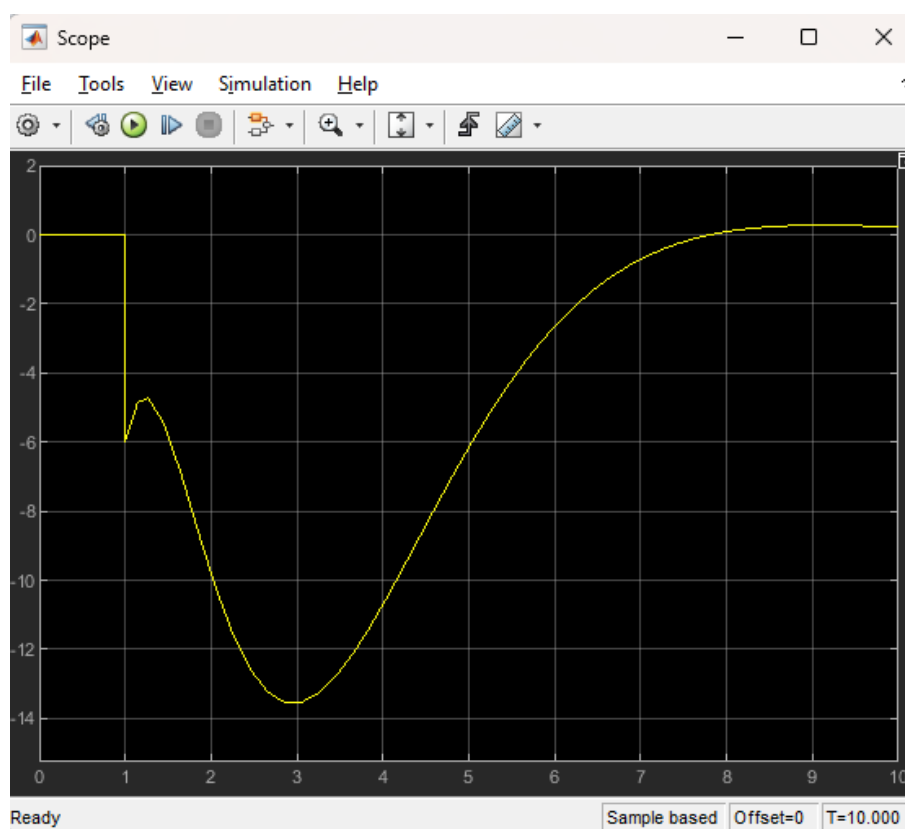
- در رابطه با رفتار کنترلی نسبت به ورودی شیب، مشاهده می شود که خطای حالت ماندگار سیستم به صفر نمی رسد. این امر منطقی است، زیرا از آنجایی که:

$$ess = \frac{1}{kv} \quad (57)$$

برای ورودی شیب، خطای حالت ماندگار هیچگاه صفر نخواهد شد، چرا که مقدار kv همواره محدود است و با توجه به بهره سیستم، خطای حالت ماندگار مقداری ثابت خواهد داشت.



شکل ۳۴: رفتار سیگنال کنترلی به ازای ورودی شیب



شکل ۳۵: سیگنال کنترلی به ازای ورودی پله